

VLIV ZNEČIŠTĚNÉHO OVZDUŠÍ NA ZDRAVOTNÍ STAV POPULACE

Radim J. Šrám

**Ústav experimentální medicíny AV ČR
Praha**

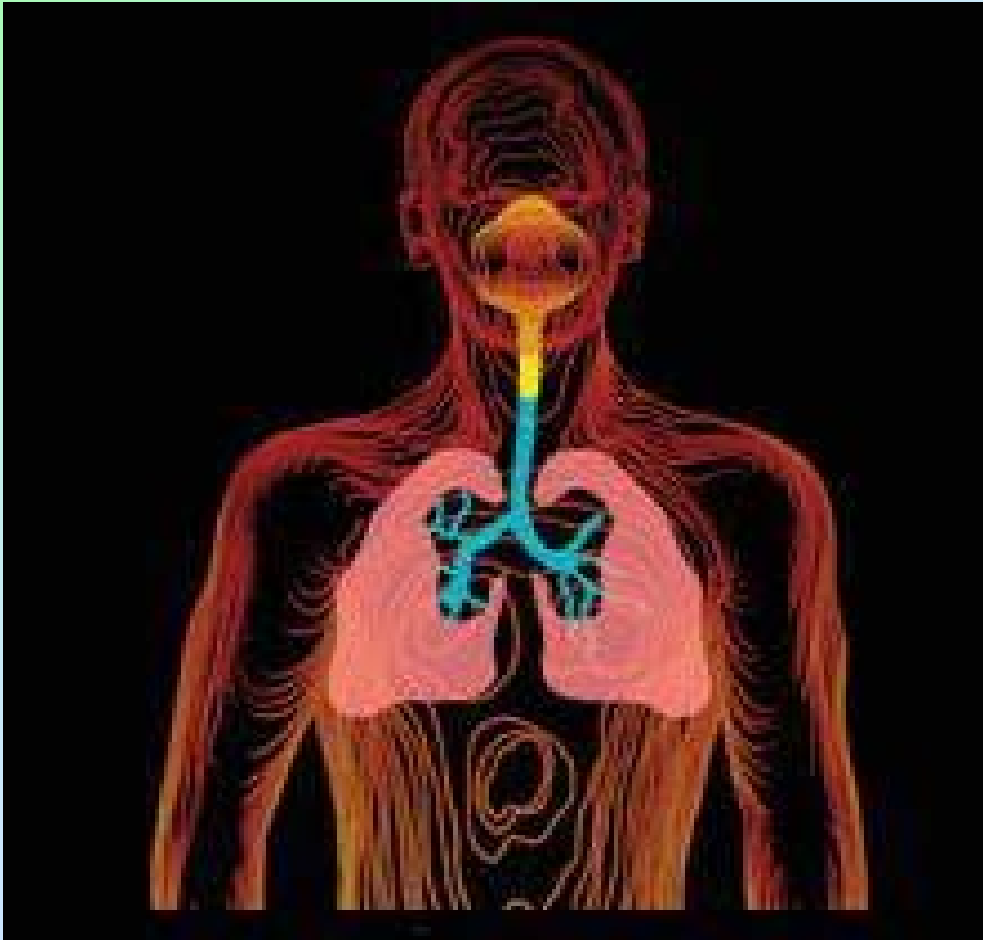



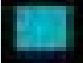

ARNIKA, Praha, 27. 11. 2008

**VÝVOJ
ZNEČIŠTĚNÍ OVZDUŠÍ
V ČR**



Air particles deposition in the airways



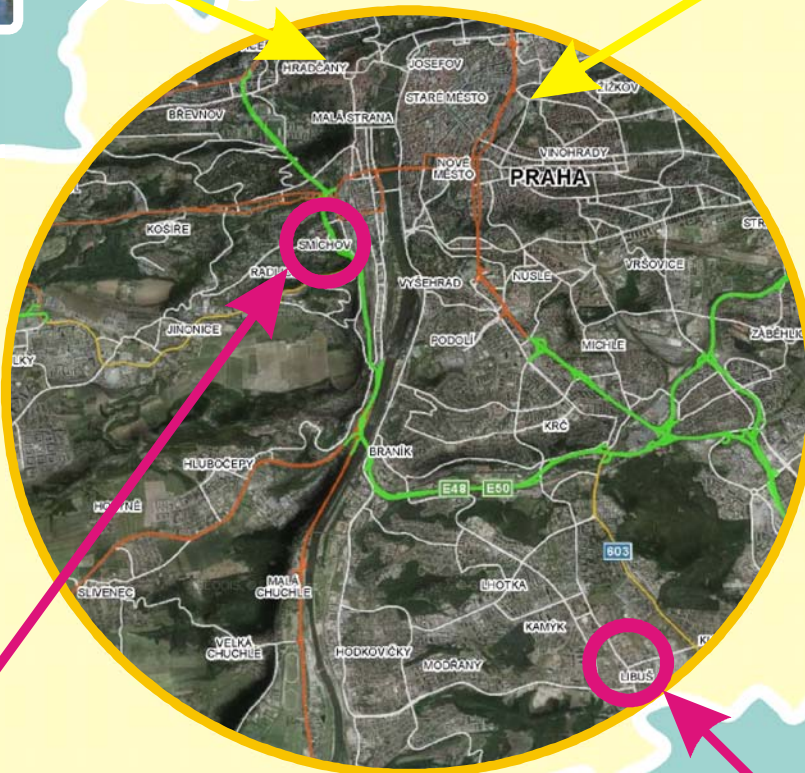
-  $> 10 \mu\text{m}$
-  $< 10 \mu\text{m}$ (PM10)
-  $< 2.5 \mu\text{m}$ (PM2.5)



Prague Castle



Old Town Square



PRAGUE

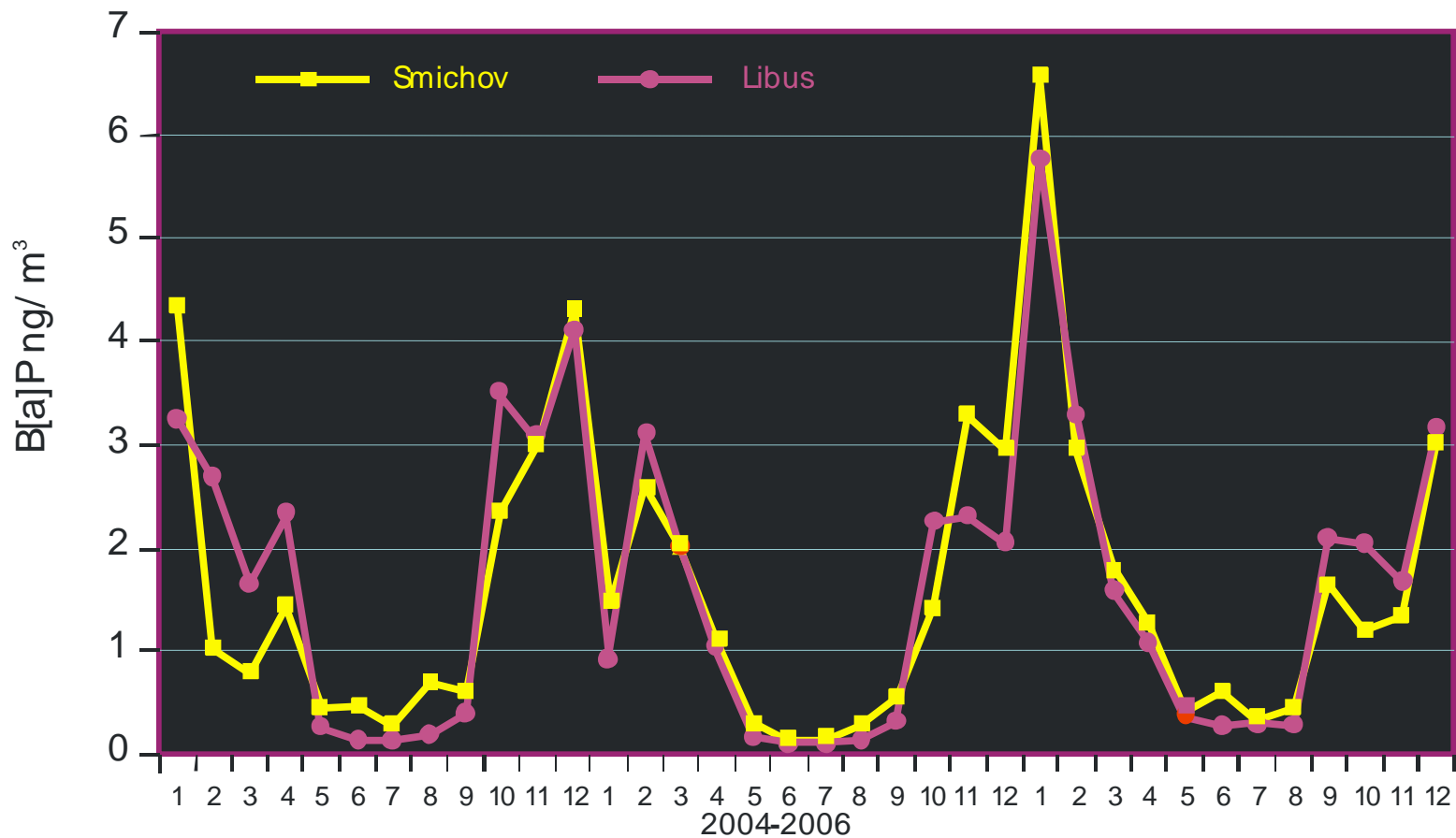


Prague-Smichov

Prague- Libus

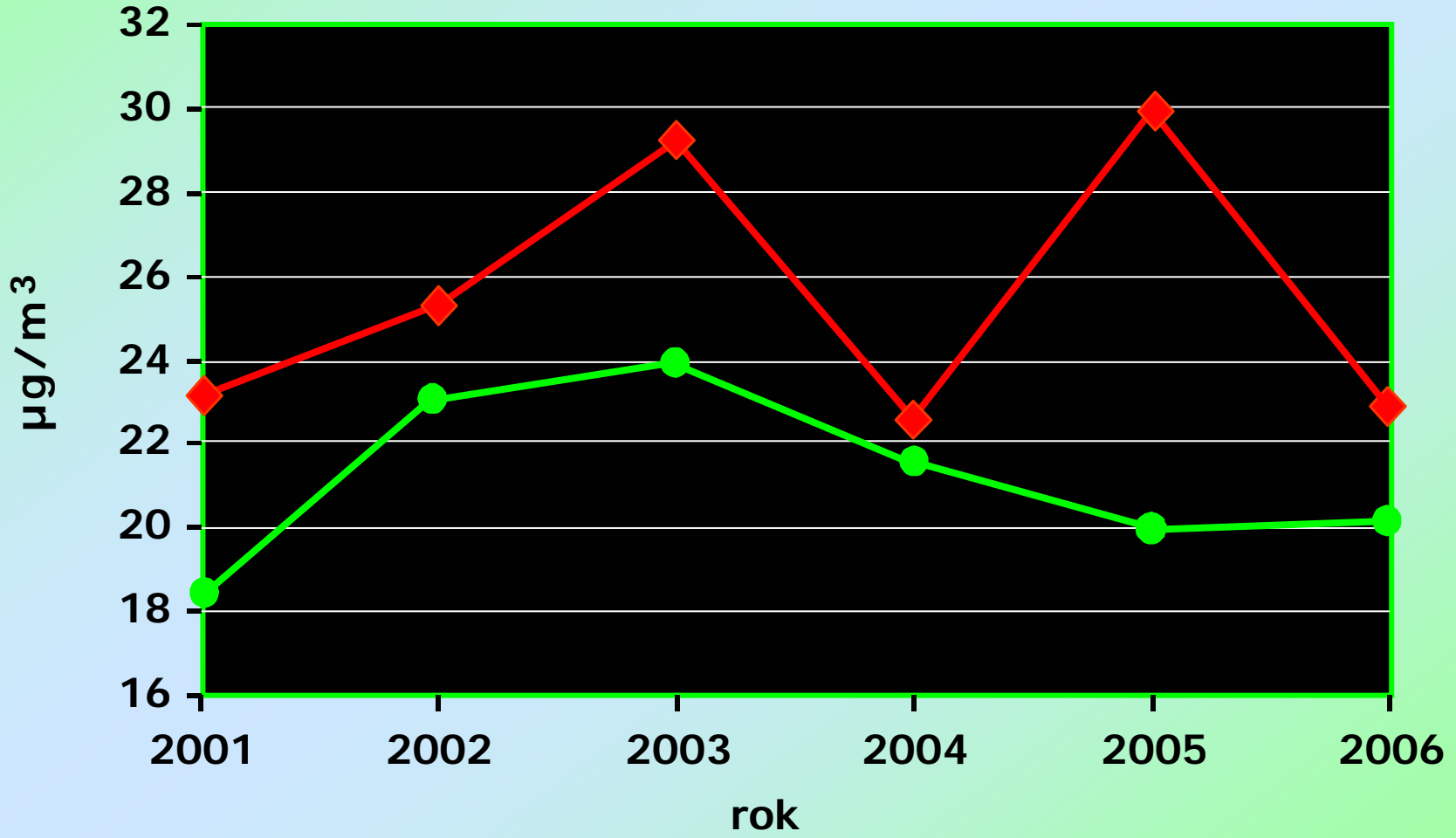
**STATIONARY
MONITORING**

Monthly average concentration of B[a]P

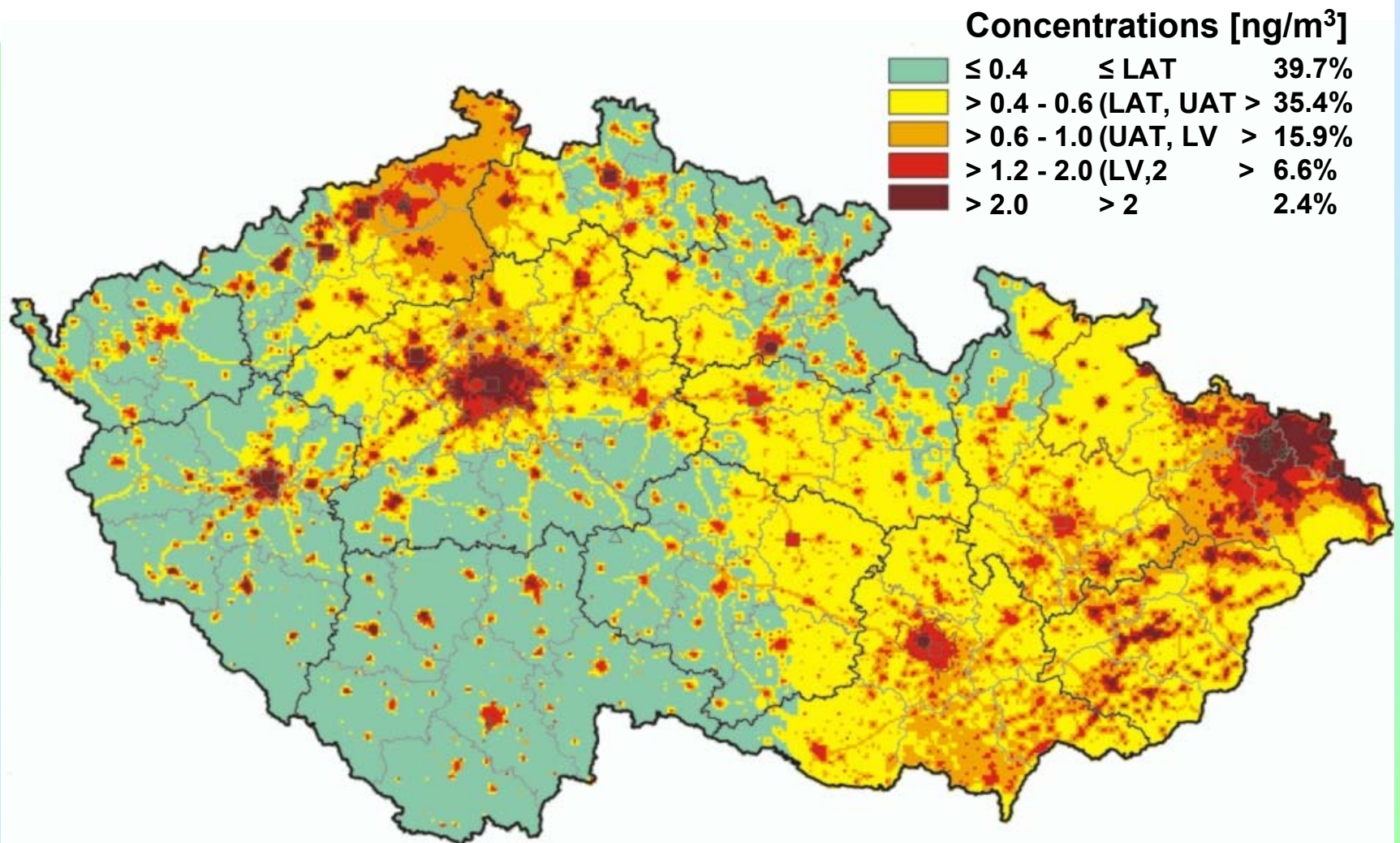


Roční průměry PM2.5

Praha - Smíchov a Libuš 2001- 2006

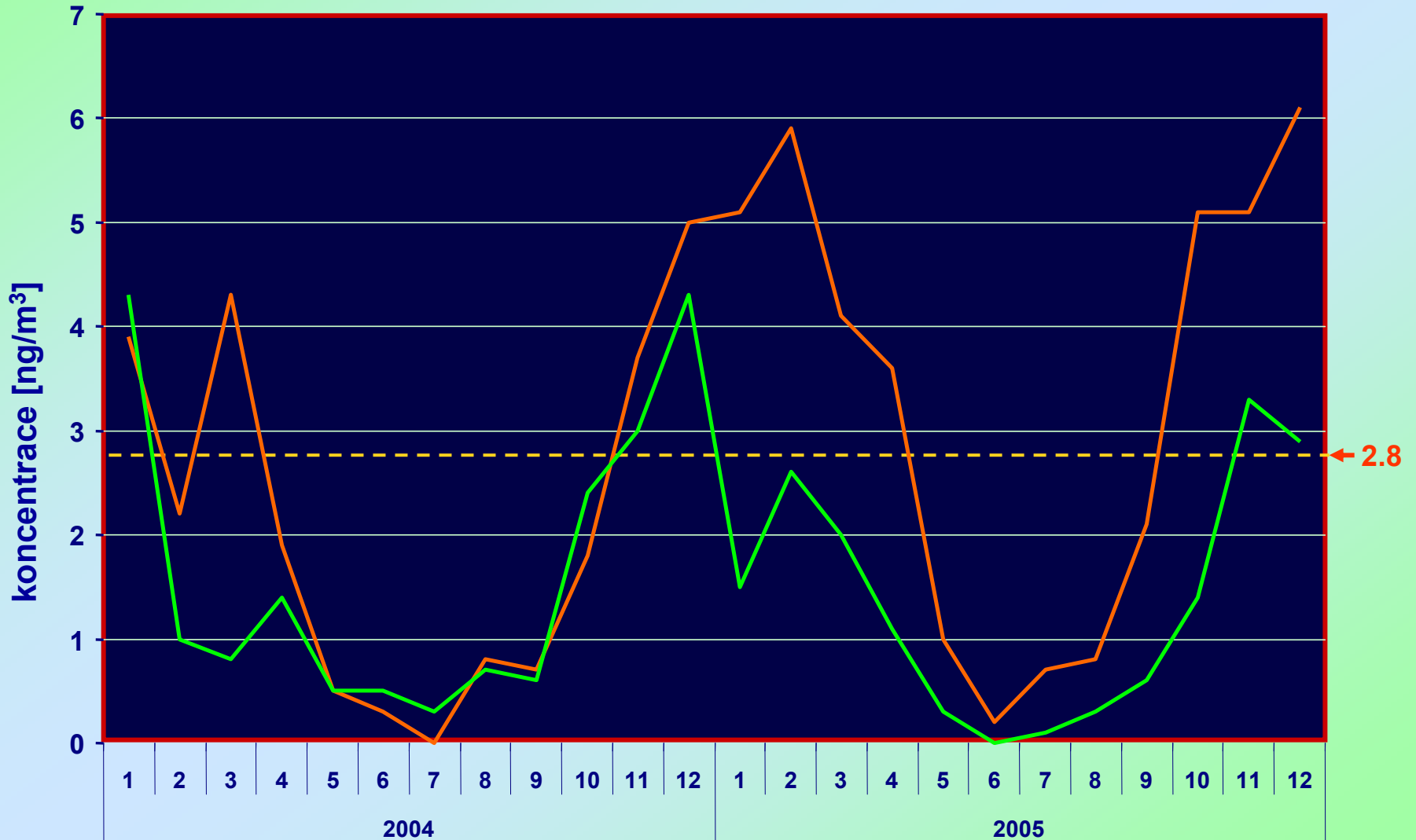


B[a]P - 2006



KONCENTRACE B[a]P

Ostrava-Poruba Praha-Smíchov



BIOMARKERS

The word "BIOMARKERS" is centered in a bold, black, sans-serif font. Below the text, there are two large, stylized arrows. Each arrow is composed of a vertical bar on the left and a curved arrowhead pointing downwards and outwards. The arrows have a color gradient from light orange at the top to dark red at the bottom.

LIDSKÉ BIOMARKERY

Biomonitorování

Biomarkery
expozice

Biomarkery
účinku

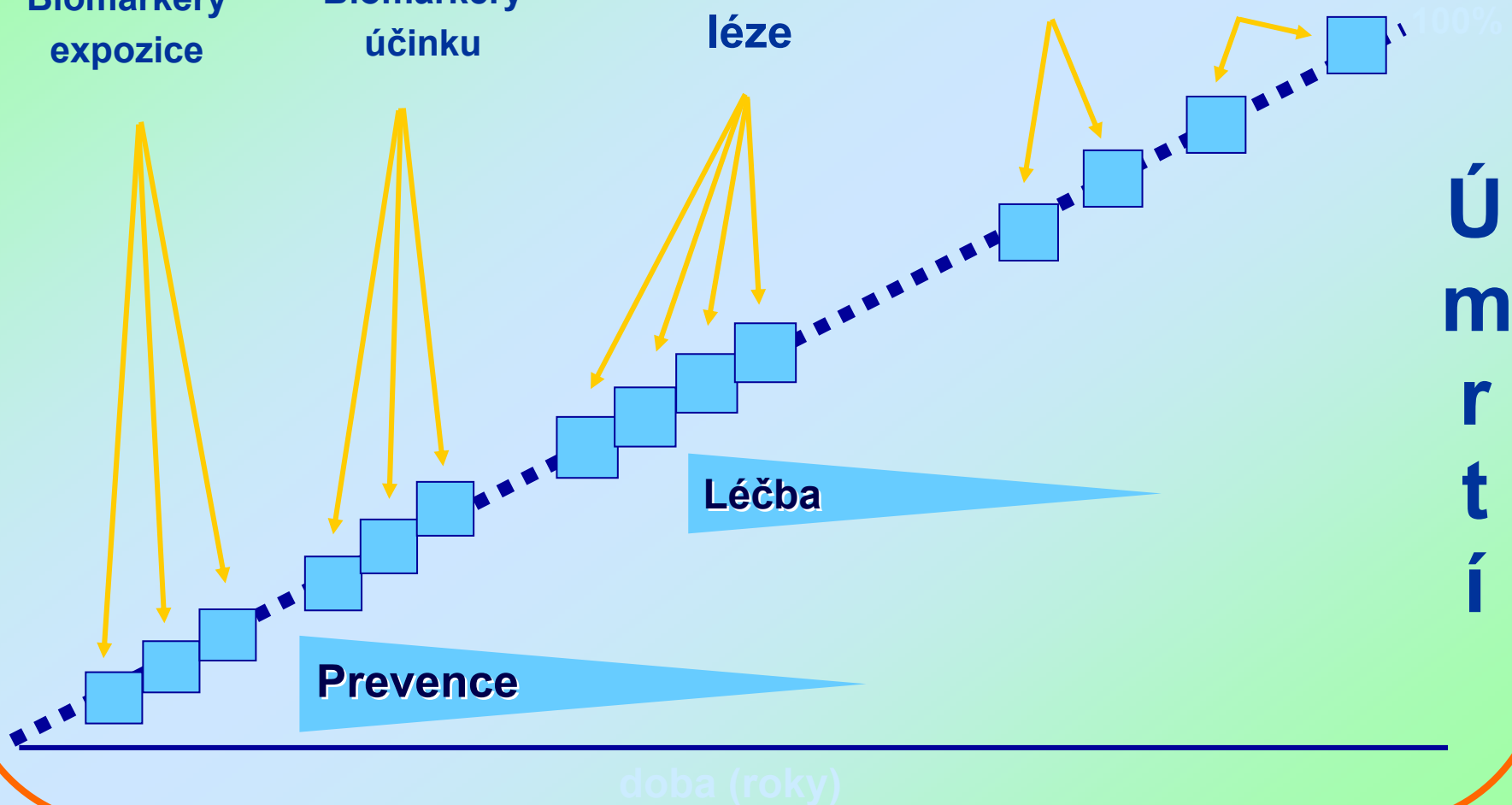
Pre-maligní
léze

Diagnóza rakoviny

Časná

Pozdní

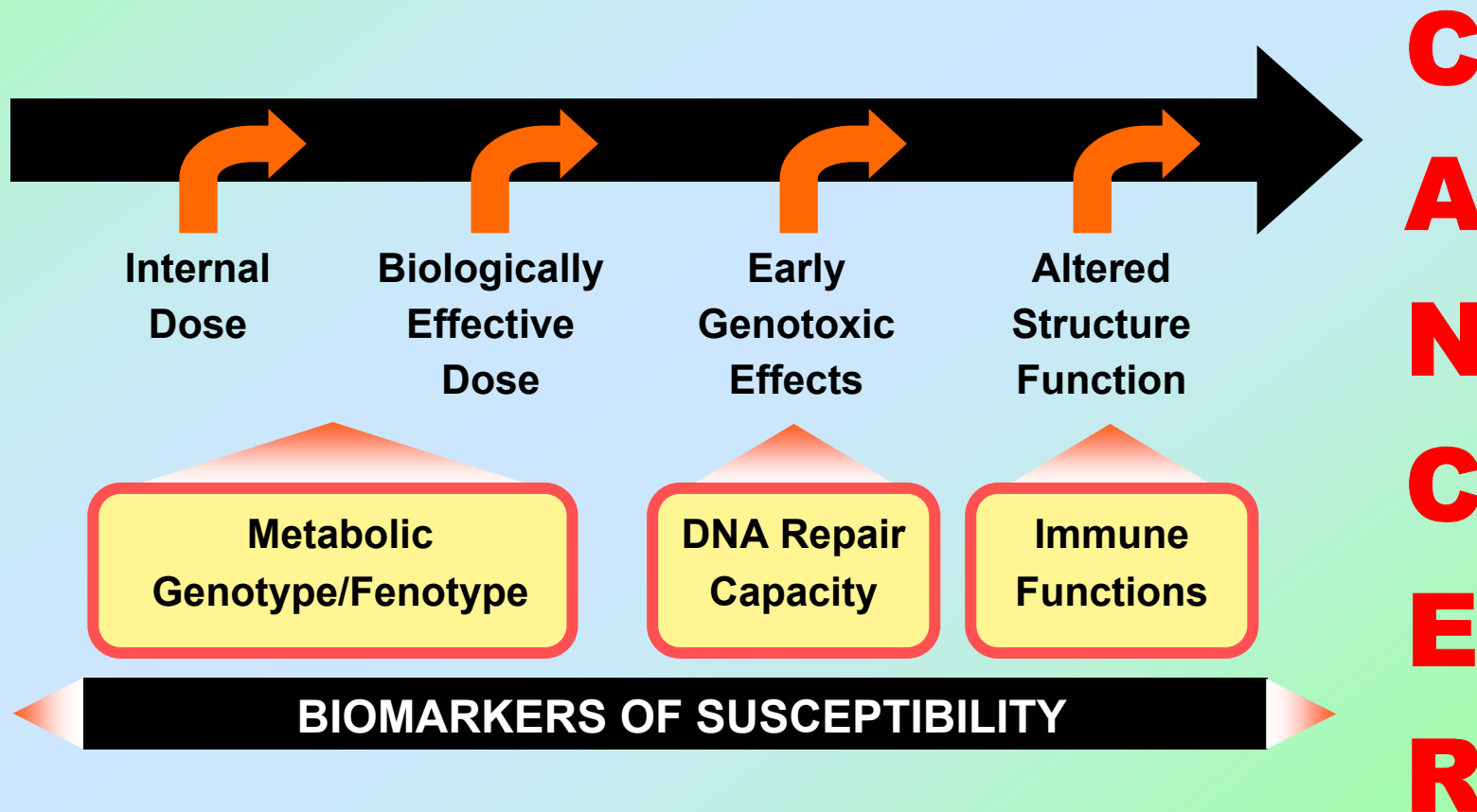
100%



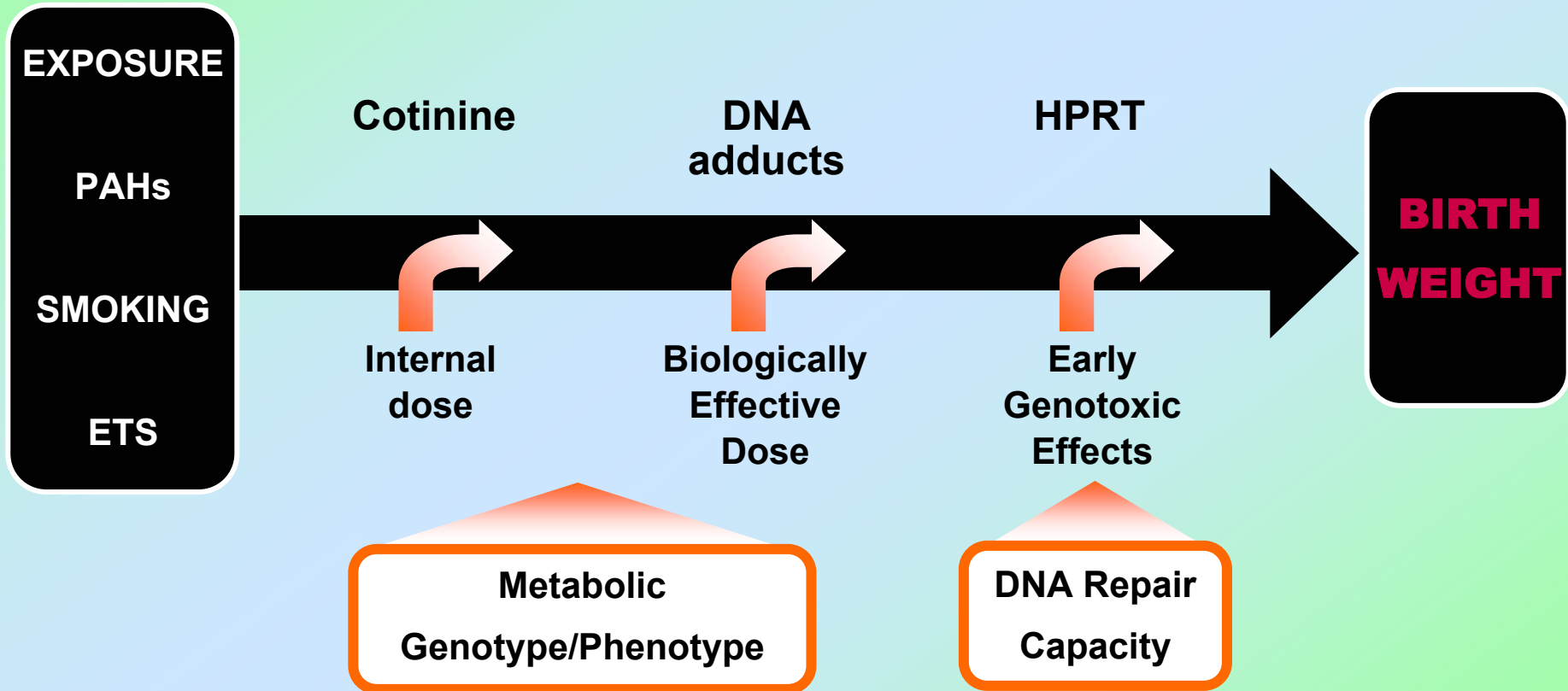
HUMAN BIOMARKERS

Genetic/Carcinogenic Risks

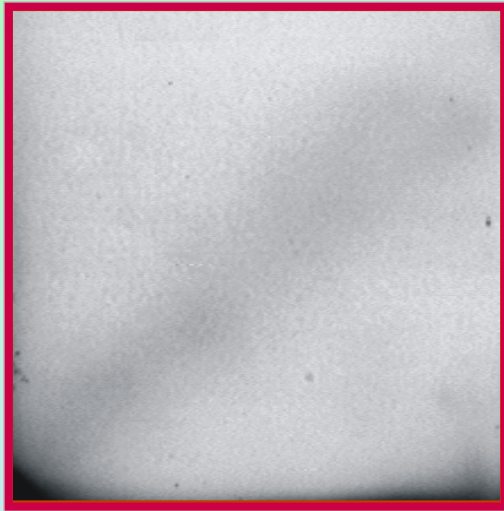
**E
X
P
O
S
U
R
E**



PREGNANCY OUTCOME



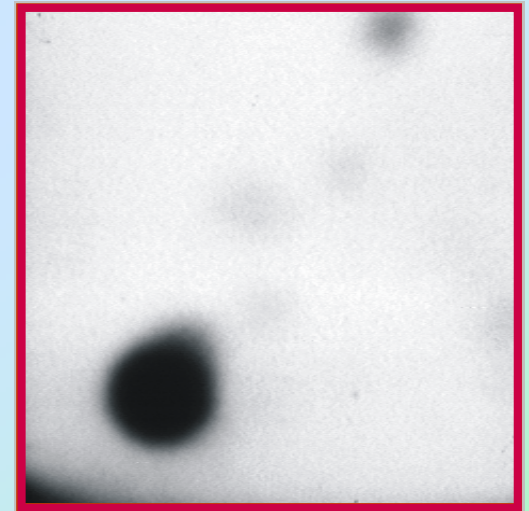
Autoradiographs of thin layer chromatograms with DNA adduct pattern of:



DNA isolated from lymphocytes
of subject sampled
in January 2004
(1st sampling period)



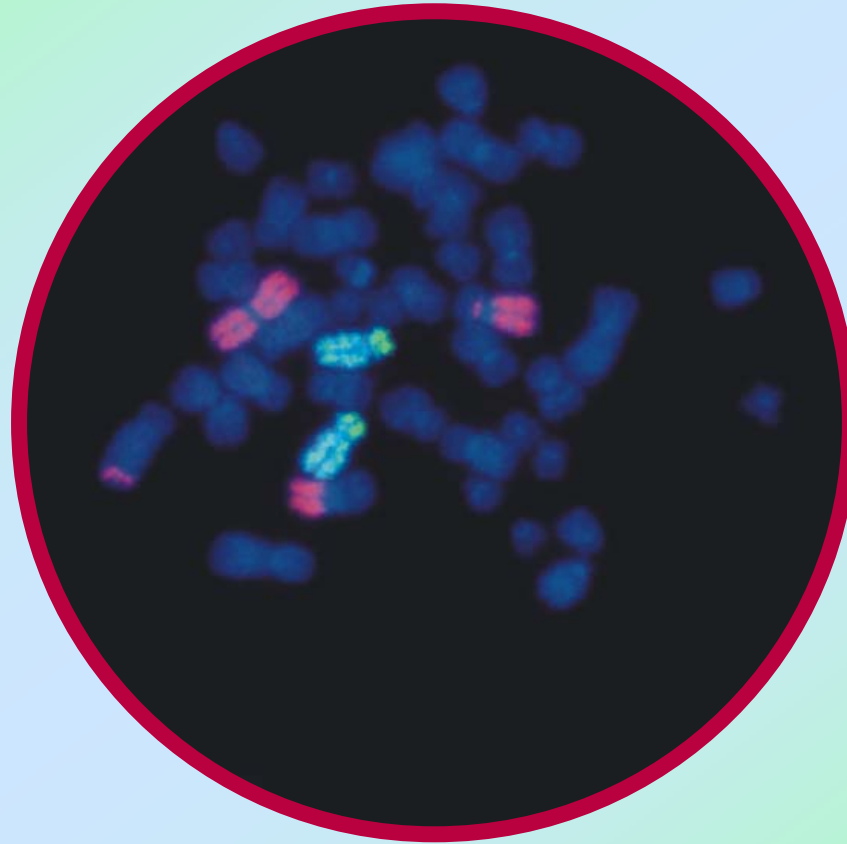
Water blank



Positive control
(DNA isolated from the lung of rats
intraperitoneally treated
with 100 mgB[a]P/kg b.w.)

CYTOGENETIC ANALYSIS

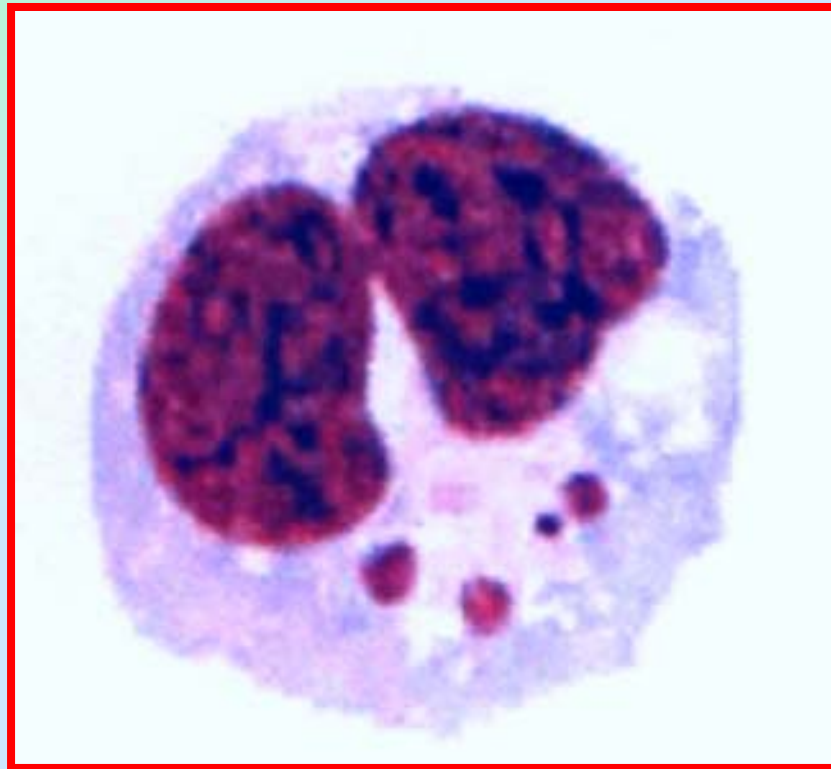
FISH analysis



t(Ab);t(Ab);t(Ba)

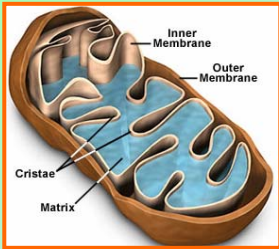
**Three translocations
between chromosome 1
and unpainted chromosomes**

MICRONUCLEI

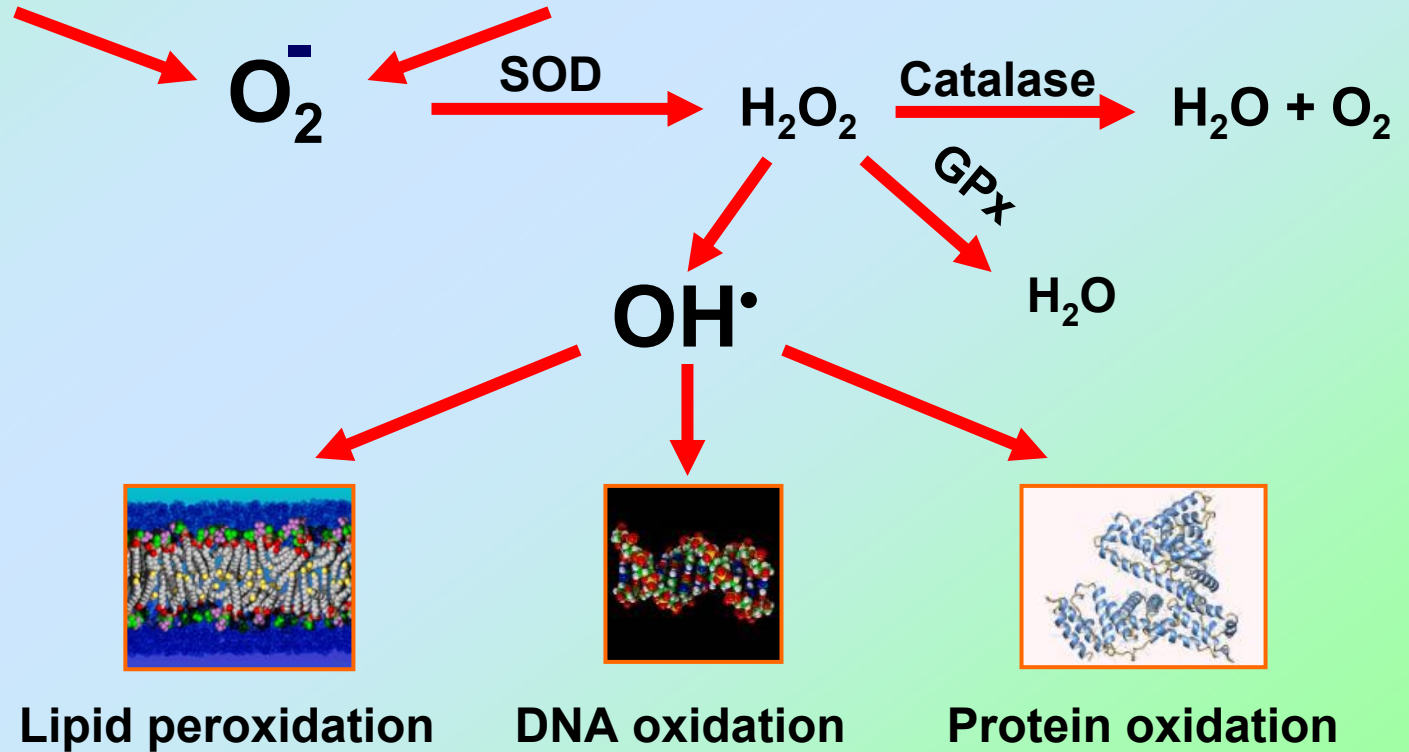
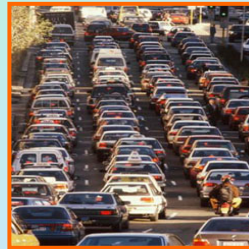


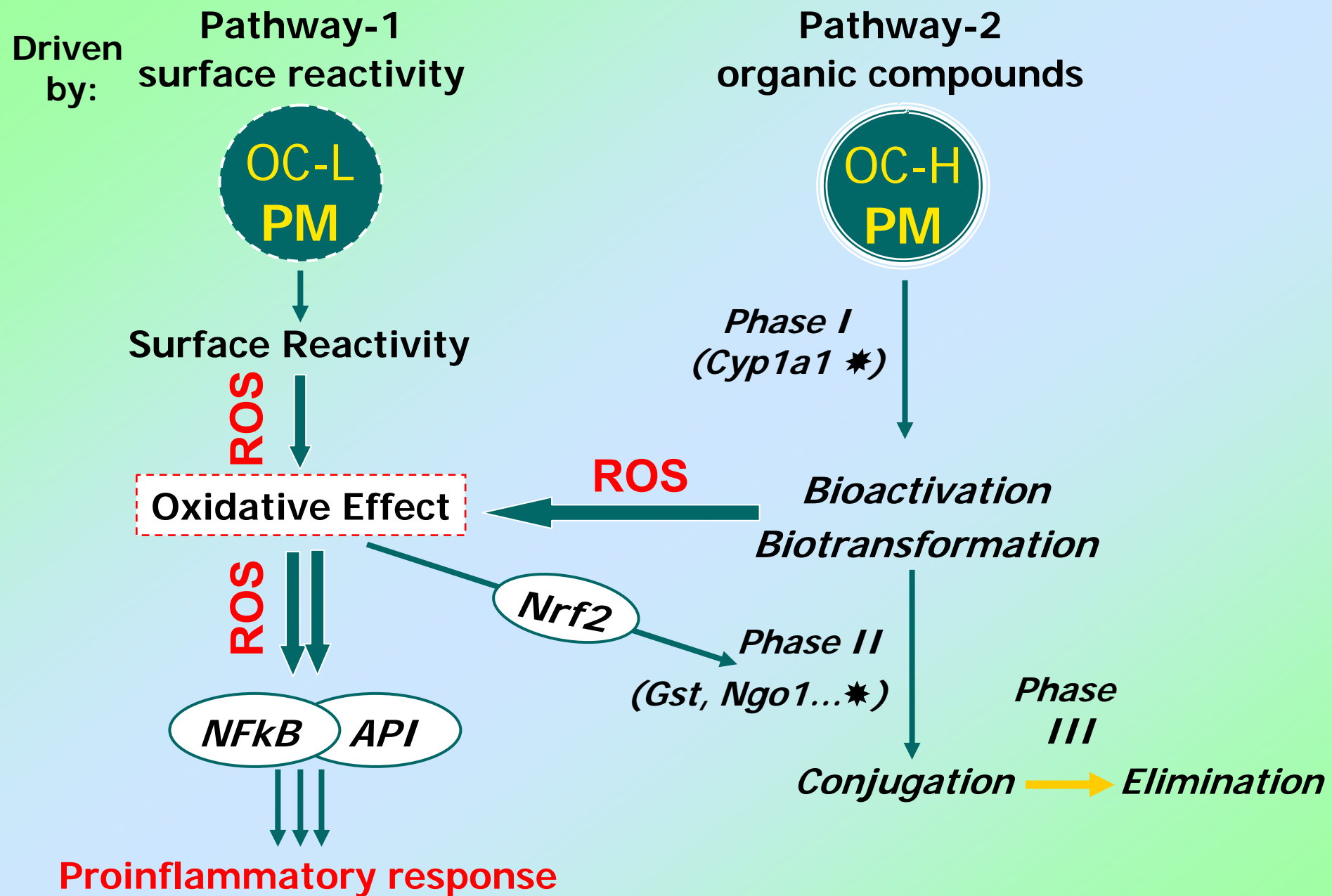
Reactive oxygen species

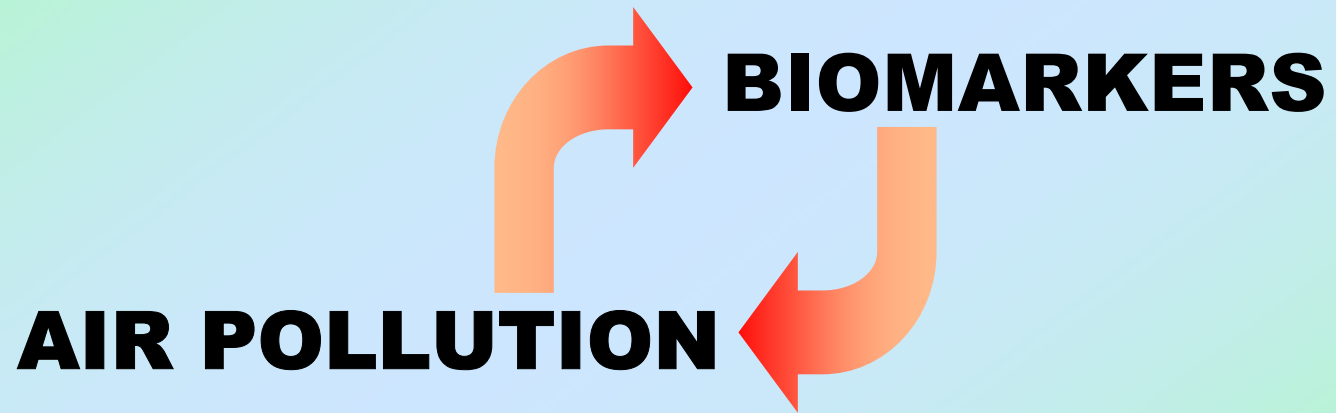
Endogenous sources



Exogenous sources







Human studies and biomarkers of exposure, effect and susceptibility

→ PM2.5 Stationary monitoring

→ DNA adducts by ^{32}P -postlabeling

→ c-PAHs Personal monitoring
Stationary monitoring

→ Chromosomal aberrations
conventional, FISH,
micronuclei

→ VOC Personal monitoring
Stationary monitoring

→ Oxidative damage

→ Cotinine

8-oxodG, 15-F2T-isoP,
proteins, SCGE

→ Triglycerids, Total, HDL and LDL
cholesterol

→ Genetic polymorphisms

→ Vitamins A, C, E, folic acid

→ Gene expression

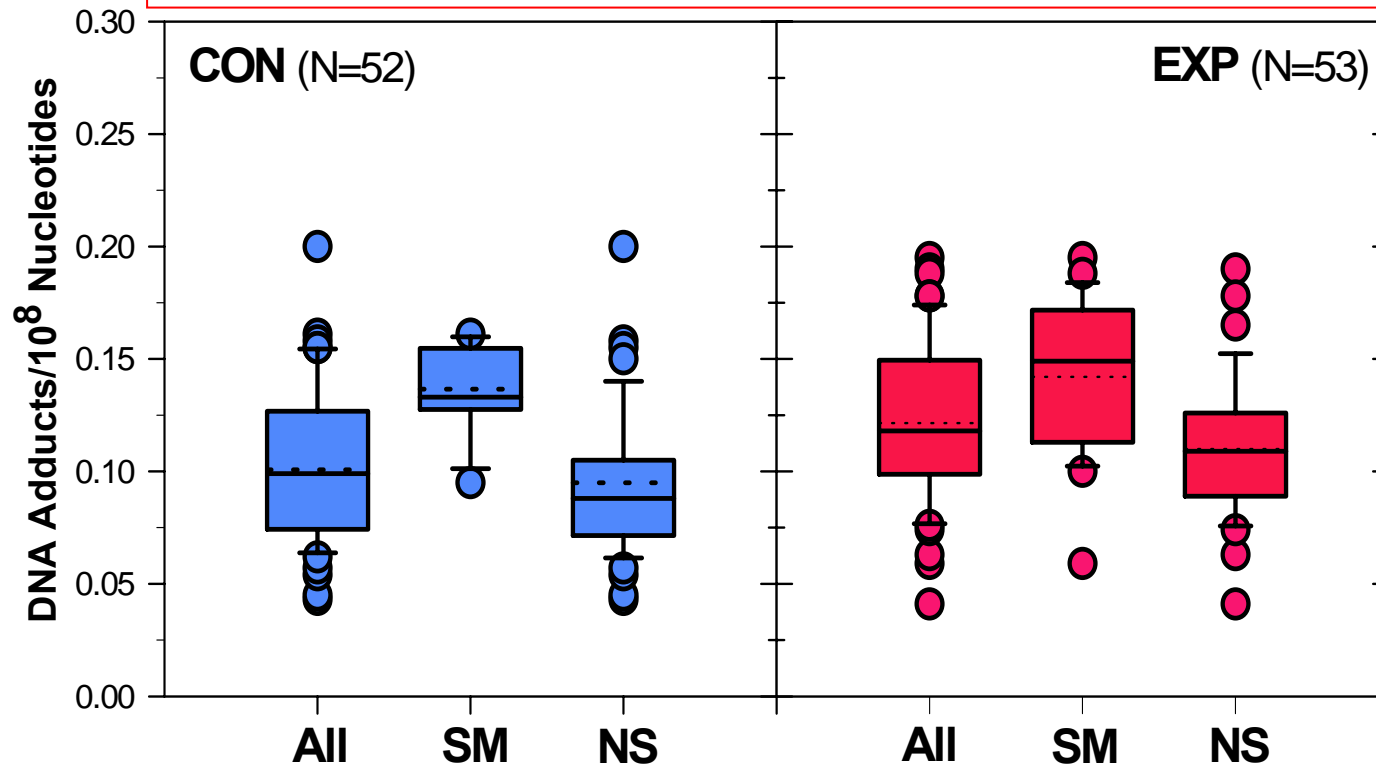


c-PAHs CONCENTRATIONS PERSONAL MONITORING

(median and range)

Group	N	Age (years)	B[a]P ng/m³	carcPAU ng/m³
EXPOSED	53	31.6 ± 7.2	1.6 (0.3 - 8.7)	9.7 (3.1 - 58.2)
Smokers	19	32.9 ± 7.0	1.6 (0.3 - 7.5)	10.8 (3.1 - 43.6)
Nonsmokers	34	30.9 ± 7.3	1.5 (0.3 - 8.7)	8.7 (3.1 - 58.2)
CONTROLS	52	29.6 ± 9.1	0.8 (0.3 - 2.8)	5.8 (3.1 - 19.3)
Smokers	7	37.6 ± 14.2	0.3 (0.3 - 1.4)	3.3 (3.1 - 8.2)
Nonsmokers	45	28.3 ± 7.6	0.9 (0.3 - 2.8)	6.1 (3.1 - 19.3)

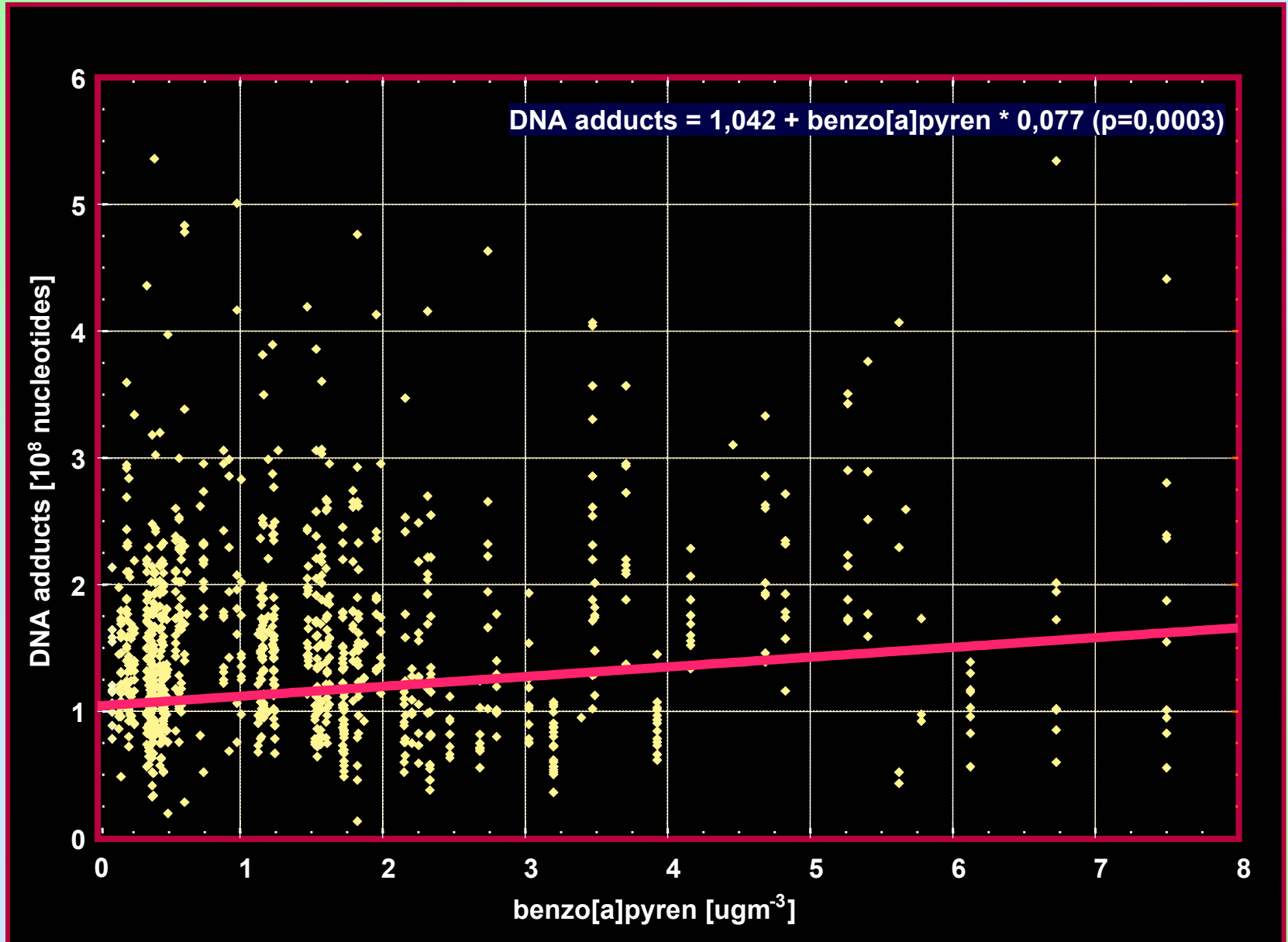
„LIKE“ B[a]P-DNA ADDUCT



EXP vs CON: $P < 0.01$

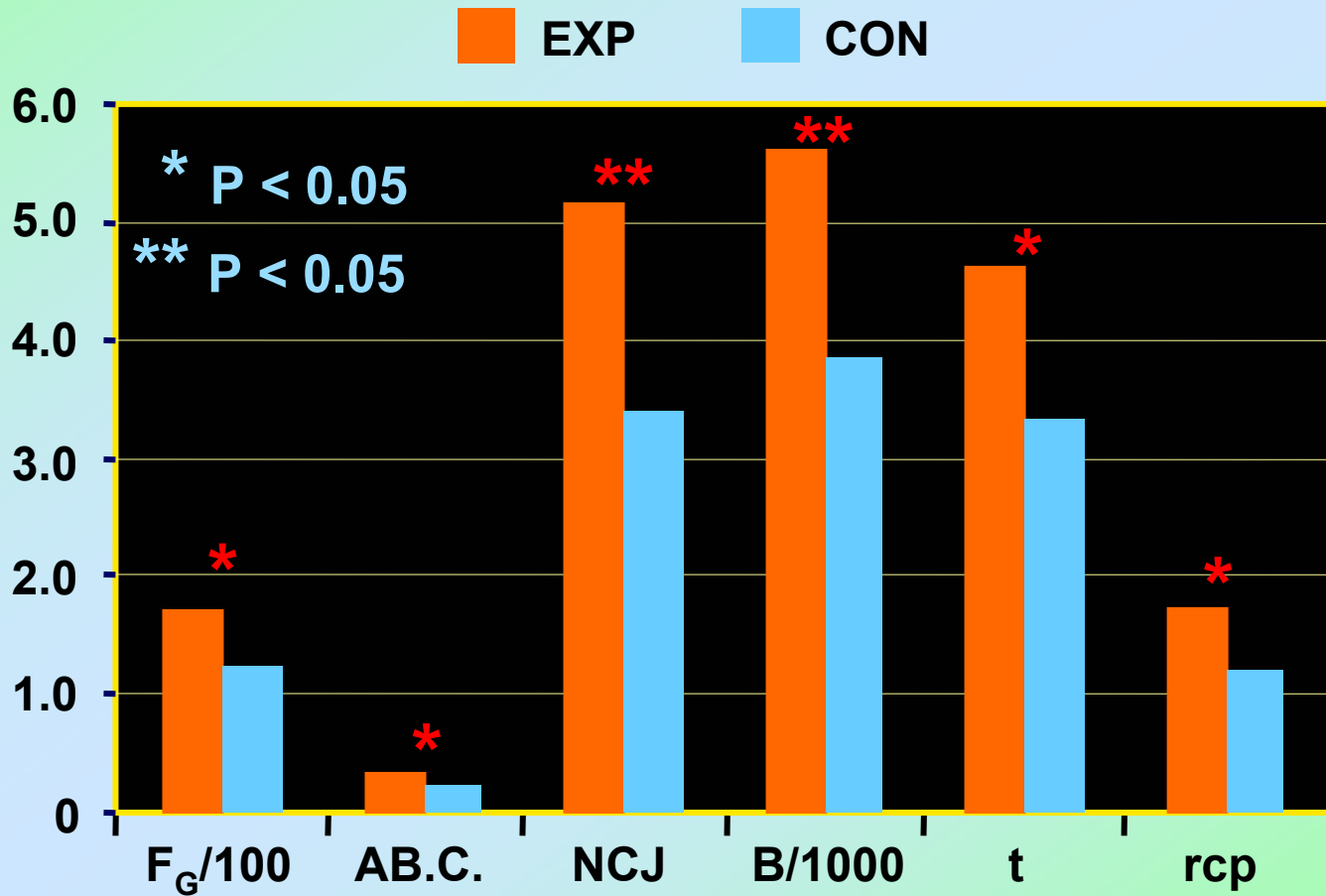
Smokers vs Nonsmokers within groups: $P < 0.01$

IMPACT OF ENVIRONMENTAL POLLUTION TO DNA ADDUCTS

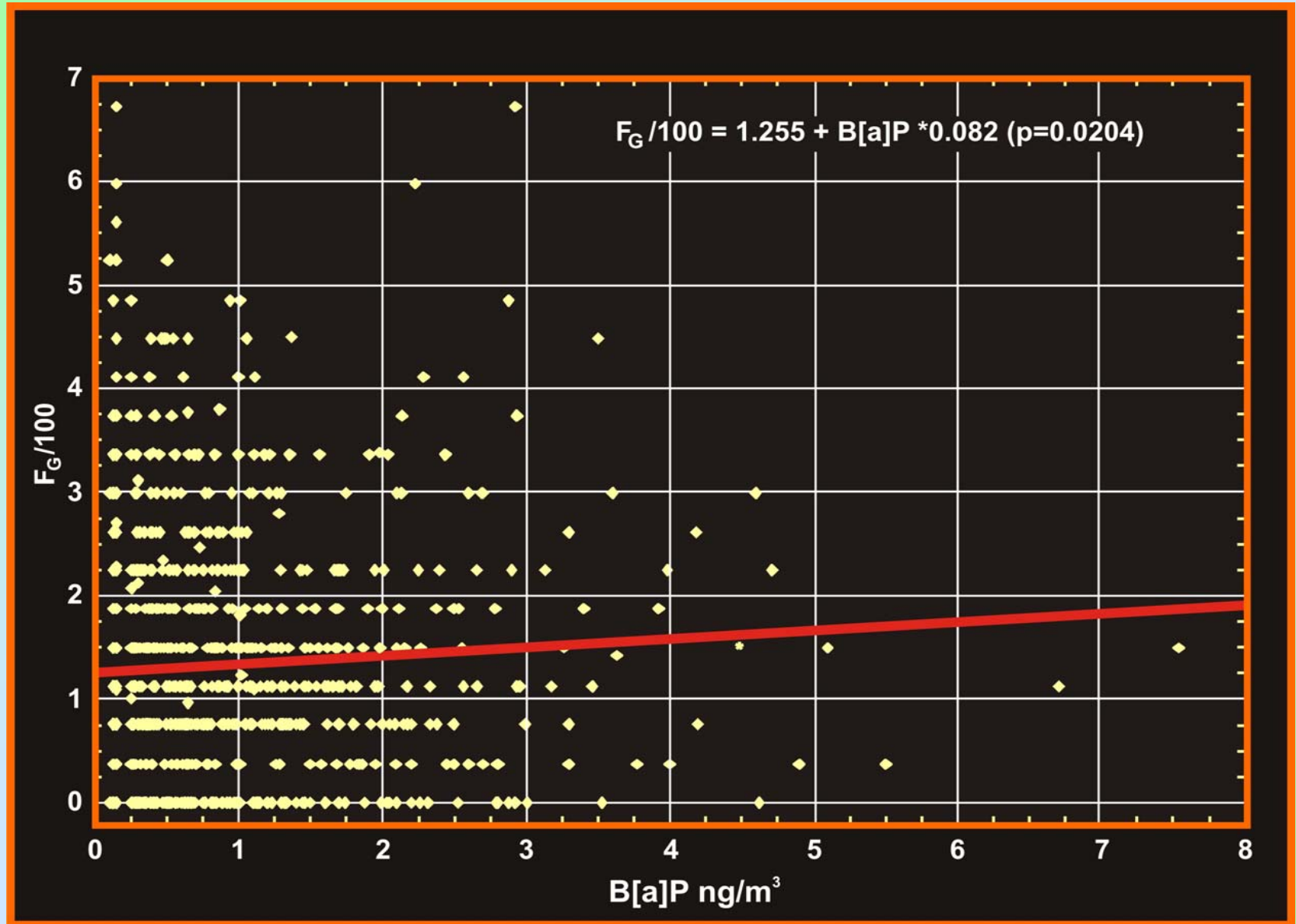


CYTOGENETIC ANALYSIS

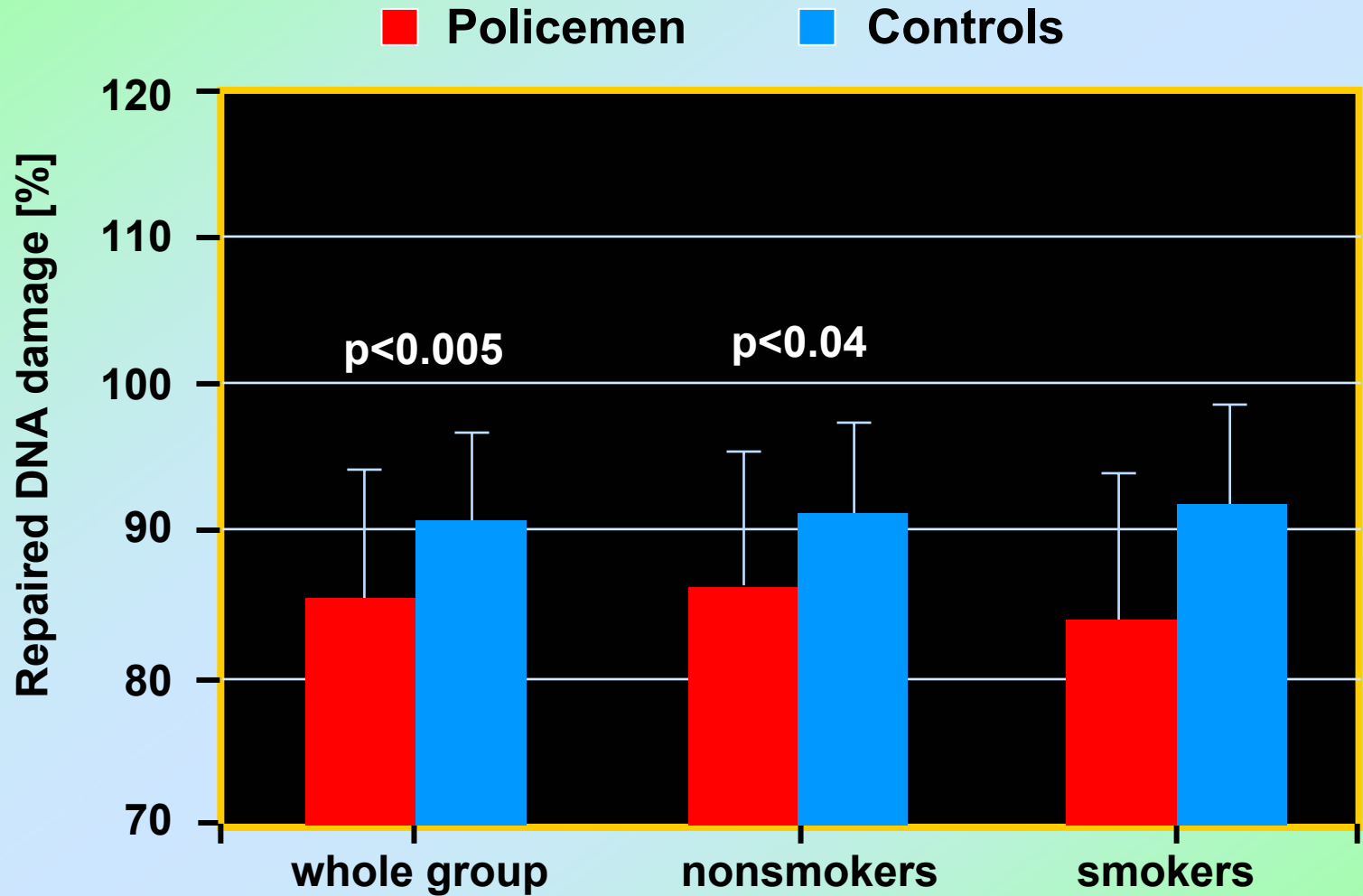
FISH



IMPACT OF ENVIRONMENTAL POLLUTION TO CHROMOSOMAL ABERRATIONS - FISH

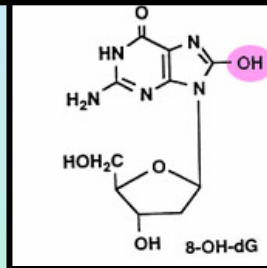
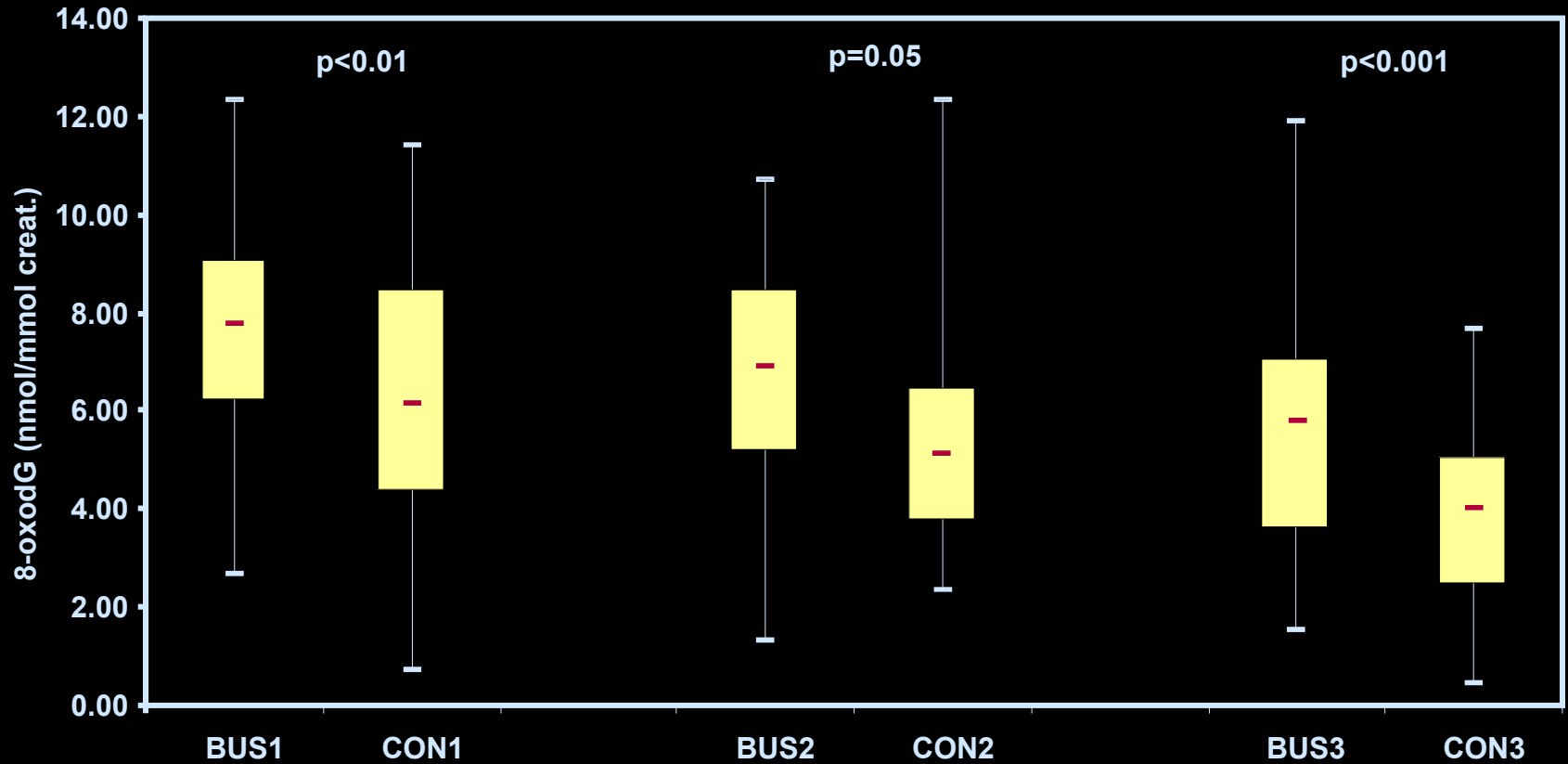


SCGE repair capacities of DNA damage



8-oxodG in urine of bus drivers and controls

Urinary 8-oxodG levels in winter 2005, summer 2006 and winter 2006



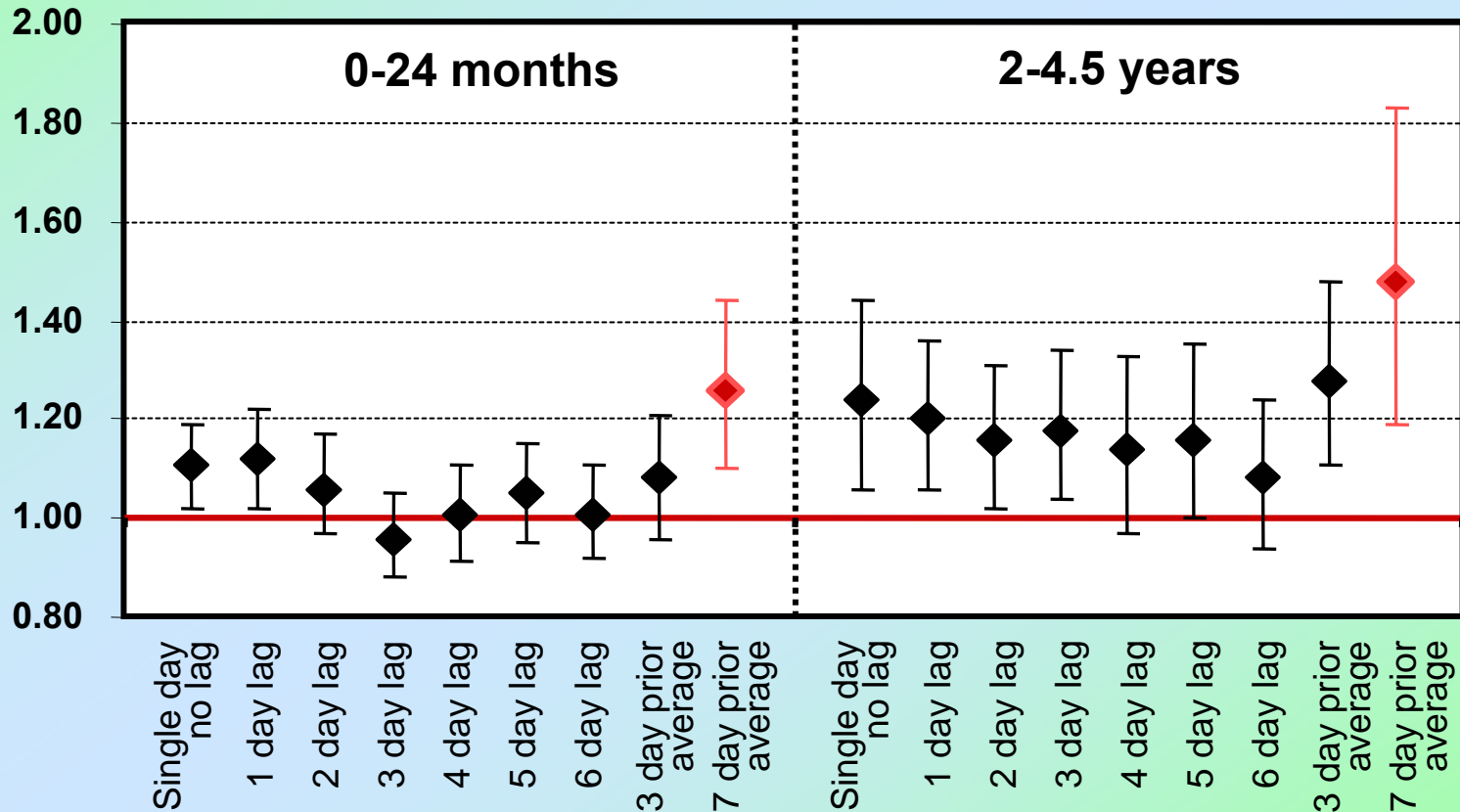
Correlation between oxidative stress markers and other factors

		15-F _{2t} -IsoP	8-oxodG	carbonyl	B[a]P	cPAHs	PM2.5	PM10
15-F _{2t} -IsoP	R	-	0.212	0.083	0.172	0.180	0.168	0.116
	P	-	<0.001	0.165	p<0.01	p<0.01	p<0.01	p<0.05
8-oxodG	R	0.212	-	0.057	0.009	0.009	0.212	0.307
	P	<0.001	-	0.338	0.874	0.874	<0.001	<0.001
carbonyl	R	0.083	0.057	-	-0.371	-0.379	-0.404	-0.030
	P	0.165	0.338	-	<0.001	<0.001	<0.001	0.613

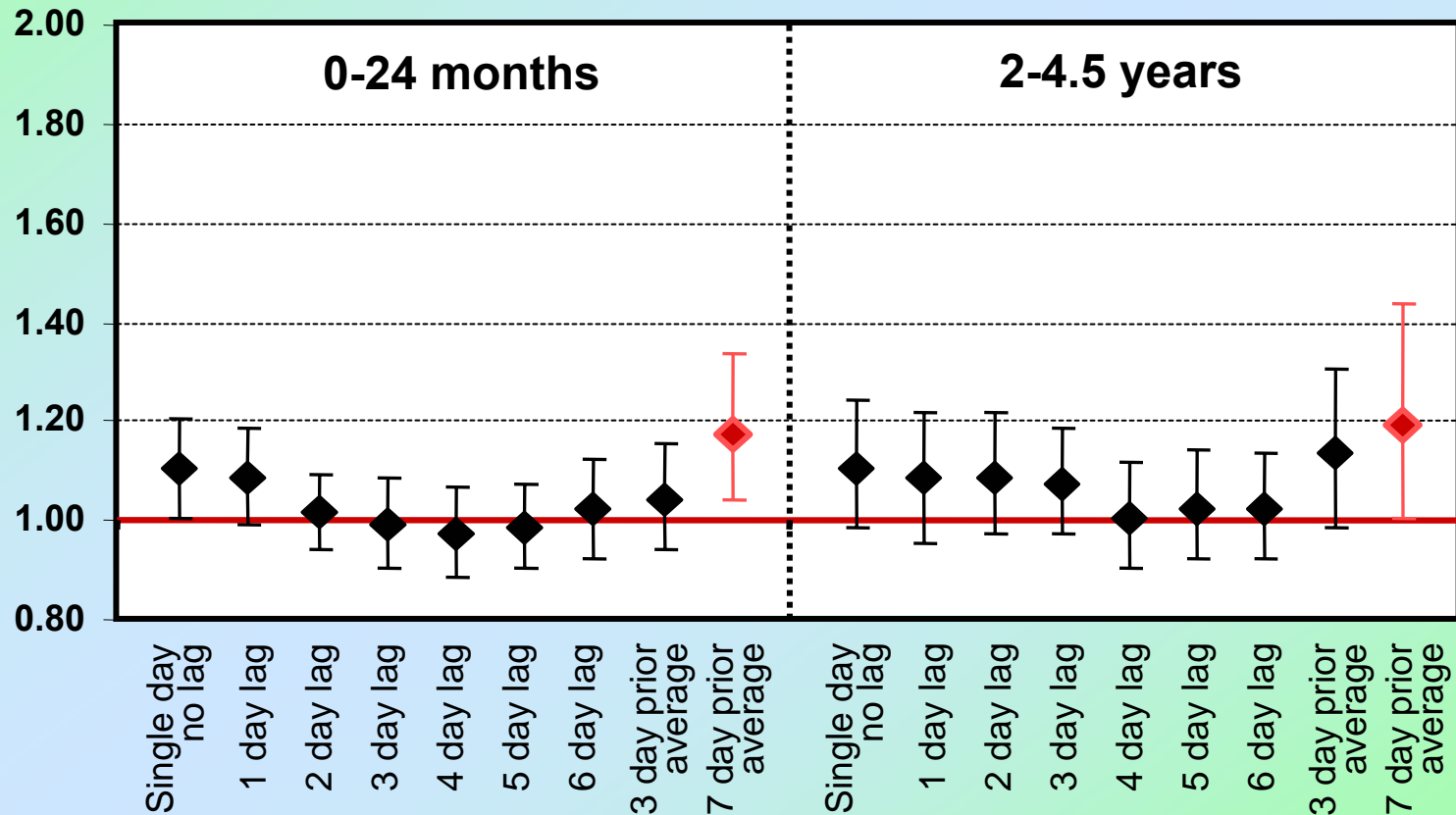
**VLIV OVZDUŠÍ
NA RESPIRAČNÍ
ONEMOCNĚNÍ
U DĚTÍ**



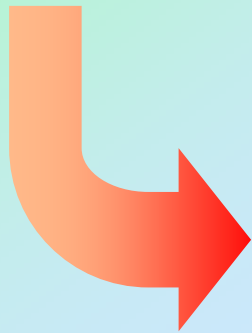
Bronchitidy RR, 95% CI's, akutní expozice PAU, multivariátní analýza



Bronchitidy RR, 95% CI's, akutní expozice PM2.5, multivariátní analýza



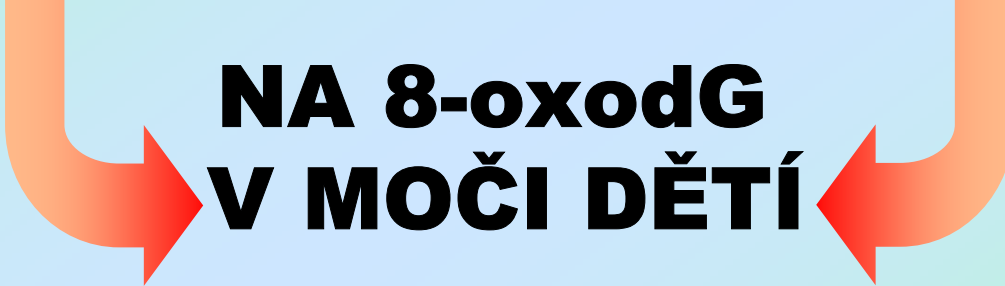
Význam



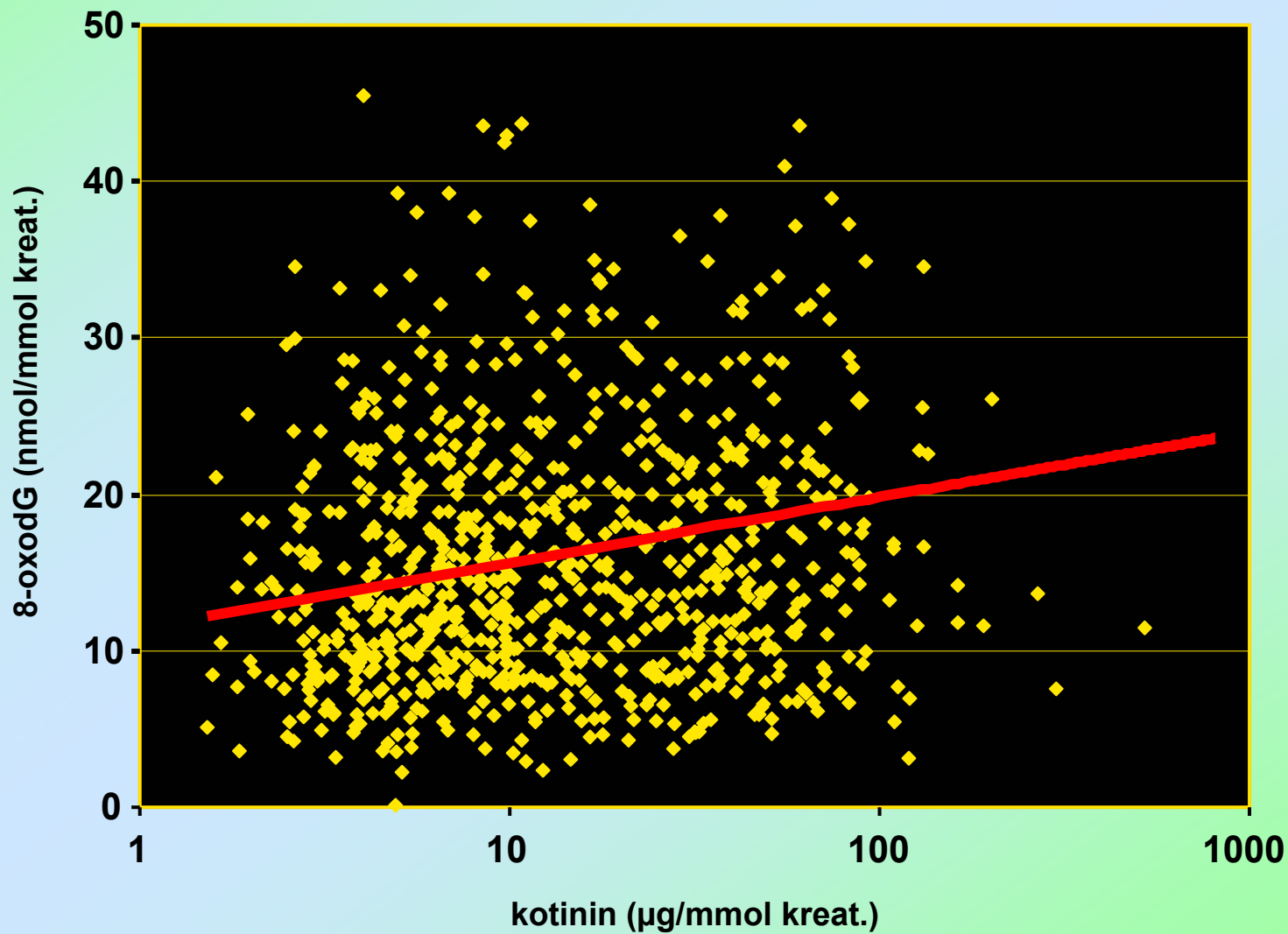
první léta života dítěte
jsou kritickou periodou
dýchacího ústrojí a imunity

VLIV OVZDUŠÍ

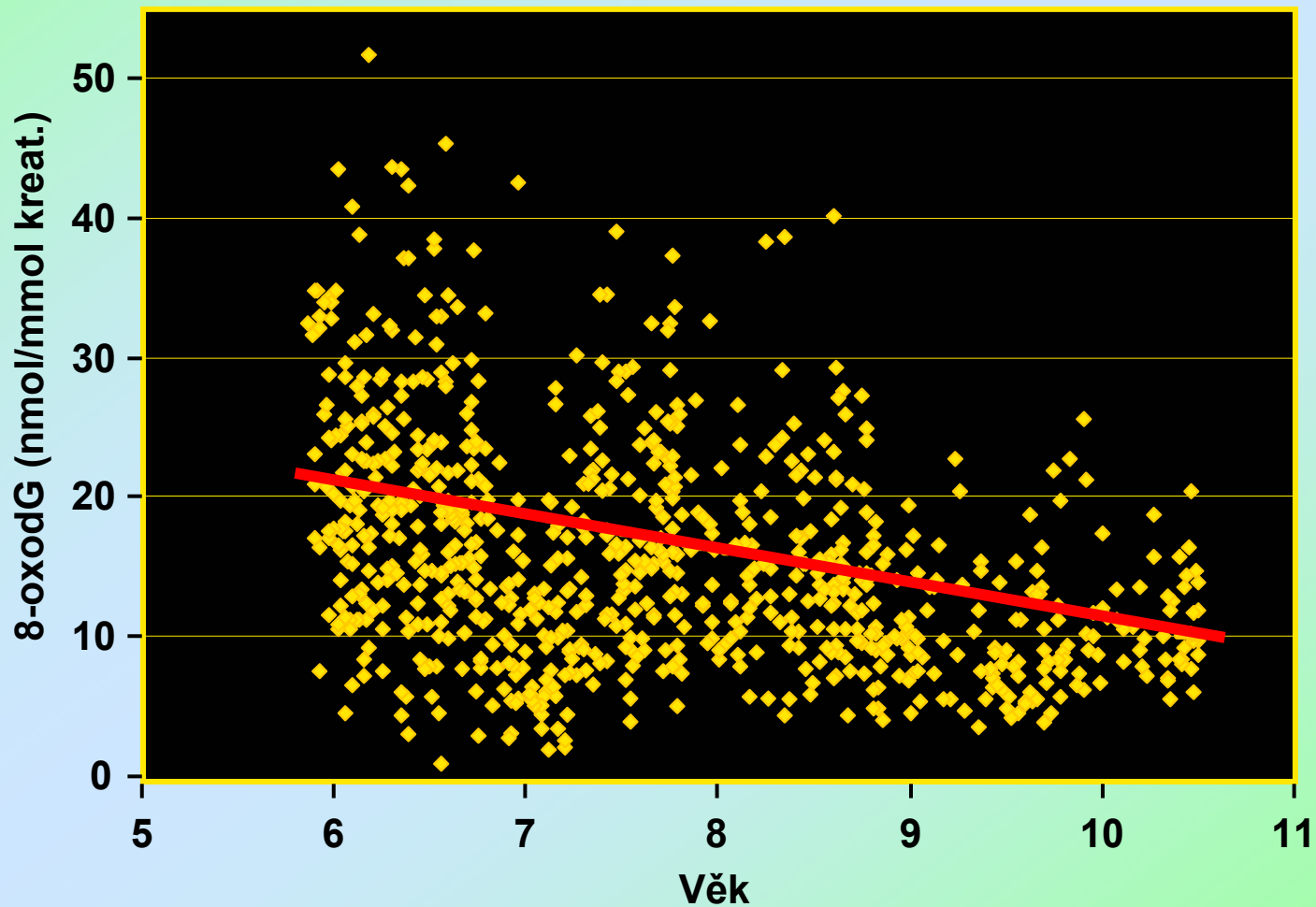
**NA 8-oxodG
V MOČI DĚTÍ**



Vztah 8-oxodG a kotininu



Vztah 8-oxodG a věku dítěte



Multivariate model of effect of PM2.5 on 8-oxodG levels (linear regression)

Region	Pollutant	Period (days before sampling)			
		3-day (-4;-6)		7-day (-1;-7)	
		R	p	R	p
All	Intercept		33.56		33.94
	PM2.5	0.16	<0.05	0.16	0.08
	Child age	-2.74	<0.0001	-2.74	<0.001
	Cotinine (above/below 20 ng/mg)	3.20	0.001	3.23	0.005
	Allergic rhinitis	1.34	0.41	1.28	<0.005
Teplice	Intercept	28.57		29.81	
	PM2.5	0.24	<0.01	0.23	<0.05
	Child age	-2.51	<0.001	-2.56	<0.001
	Cotinine (above/below 20 ng/mg)	4.41	<0.005	4.321	0.005
	Allergic rhinitis	7.59	0.01	7.64	0.01
Prachatice	Intercept	43.71		45.22	
	PM2.5	-0.13	0.30	-0.20	0.21
	Child age	-3.07	<0.001	-3.09	<0.001
	Allergic rhinitis	-3.03	0.06	-3.02	0.06

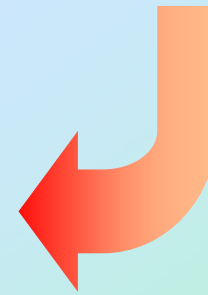
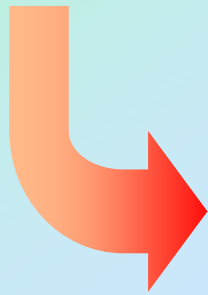
Multivariate model of effect of B[a]P on 8-oxodG levels (linear regression)

Region	Pollutant	Period (days before sampling)			
		3-day (-4;-6)		3-day (-1;-7)	
		R	p	R	p
All	Intercept	34.01		34.94	
	B[a]P	-1.44	0.03	1.20	0.08
	Child age	-2.65	<0.001	-2.74	<0.001
	Cotinine (above/below 20 ng/mg)	3.04	<0.005	3.49	<0.01
	Allergic rhinitis	1.19	0.47	1.27	0.55
Teplice	Intercept	31.09		31.30	
	B[a]P	1.73	<0.05	2.13	<0.05
	Child age	-2.54	<0.001	-2.71	<0.001
	Cotinine (above/below 20 ng/mg)	4.42	<0.005	4.58	0.01
	Allergic rhinitis	7.76	<0.01	8.46	<0.05
Prachatice	Intercept	40.25		42.18	
	B[a]P	-0.02	0.98	-0.99	0.36
	Child age	-3.05	<0.001	-2.97	<0.001
	Allergic rhinitis	-1.62	0.22	-4.18	0.05

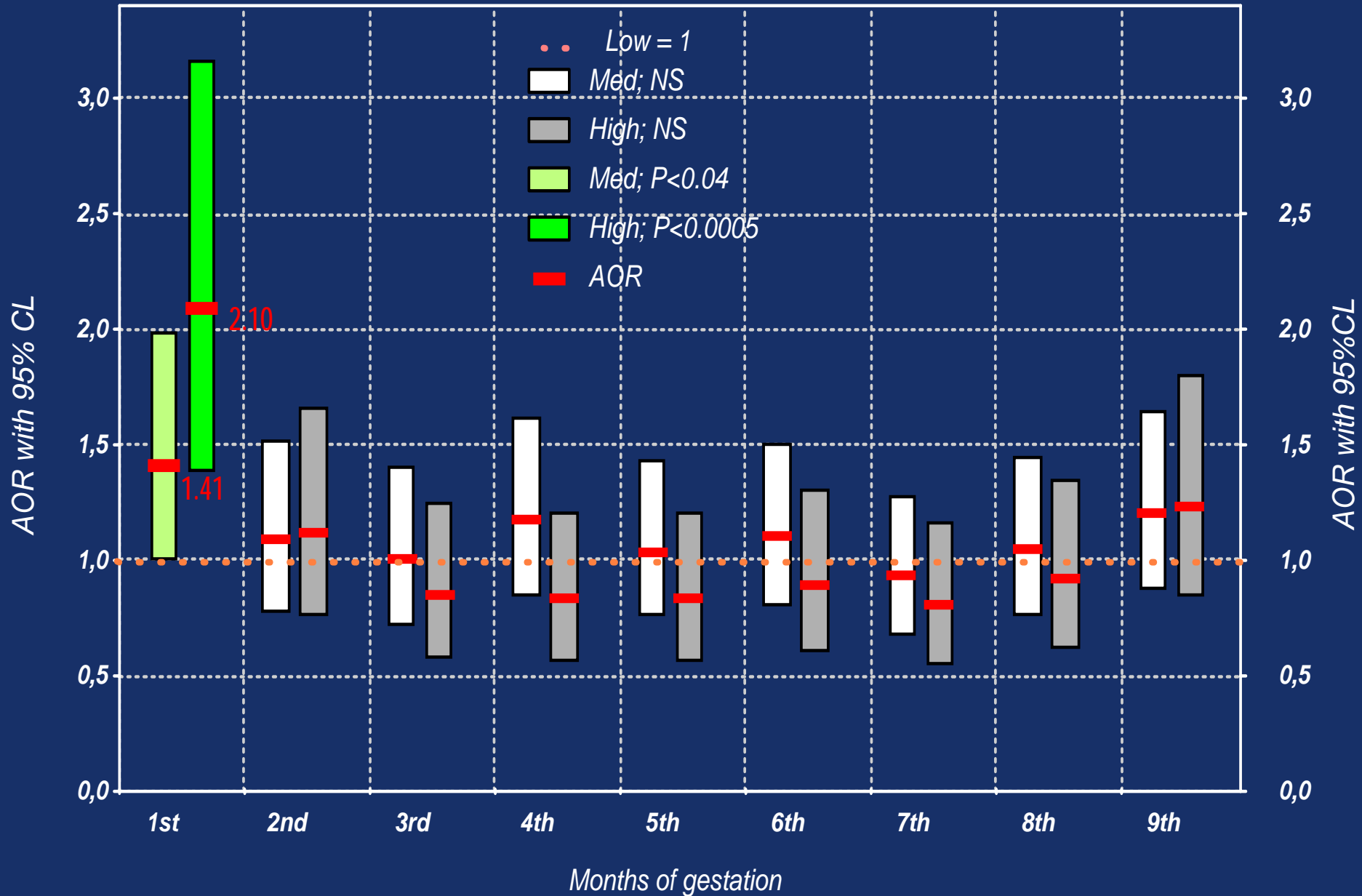
8-oxodG V MOČI DĚTÍ

- ➔ **zvýšen při expozici pasivnímu kouření**
- ➔ **snižuje se s věkem dětí**
- ➔ **je ovlivněn etnicitou a vzděláním matky**
- ➔ **zvýšen expozicí PM2.5 a PM10 7 dní před odběrem**
- ➔ **zvýšen expozicí k-PAU 1-3 a 7-9 dní před odběrem**
- ➔ **zvýšen u dětí s alergickou rhinitidou**

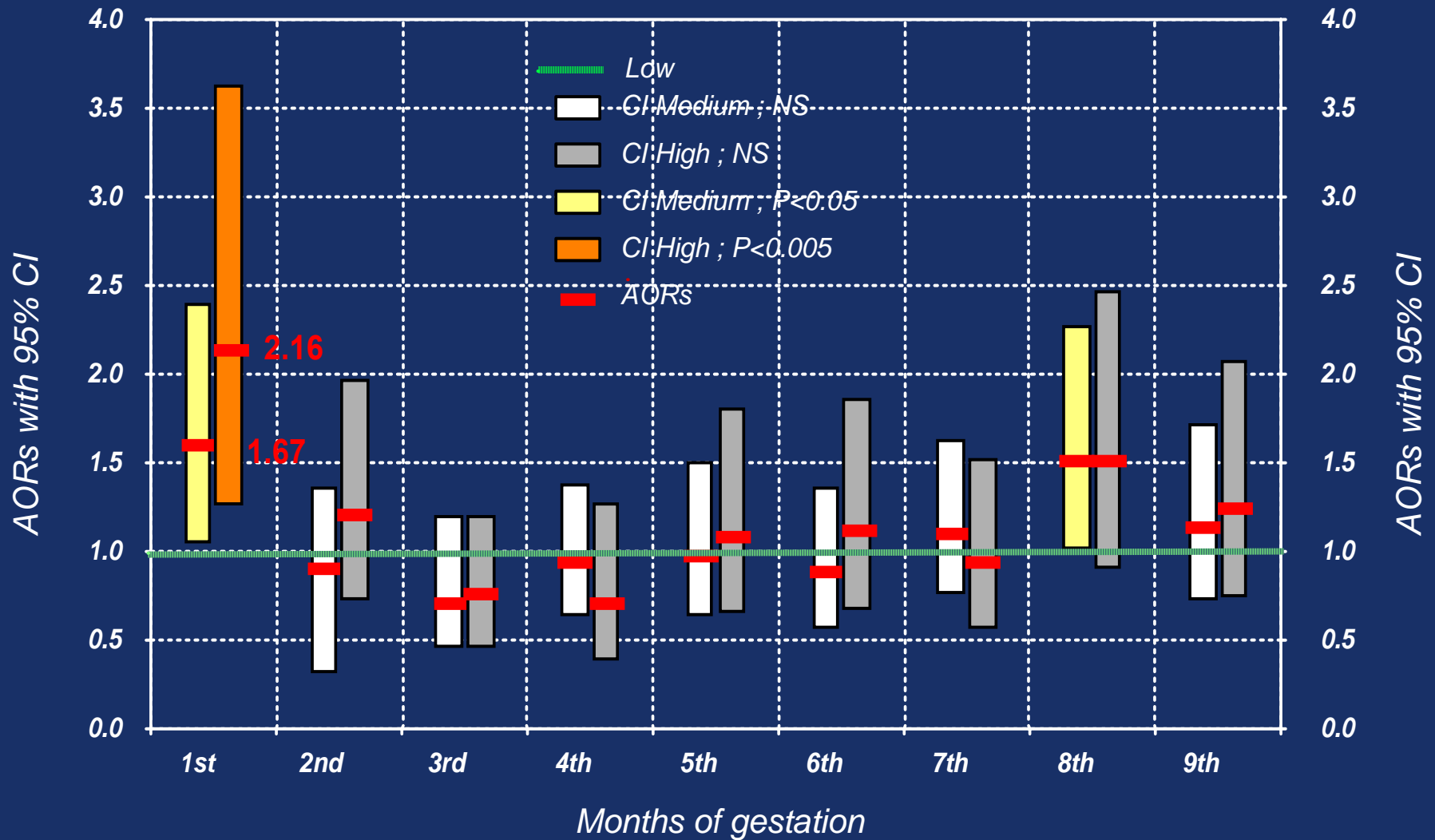
VLIV OVZDUŠÍ NA VÝSLEDKY TĚHOTENSTVÍ



IUGR by PM10 during 1994 - 1998 in TEPLICE



CARCINOGENIC PAHs & IUGR IN TEPLICE



OVLIVNĚNÍ VÝVOJE DĚTÍ

VLIV FAKTORŮ ŽP A ŽIVOTNÍHO STYLU:

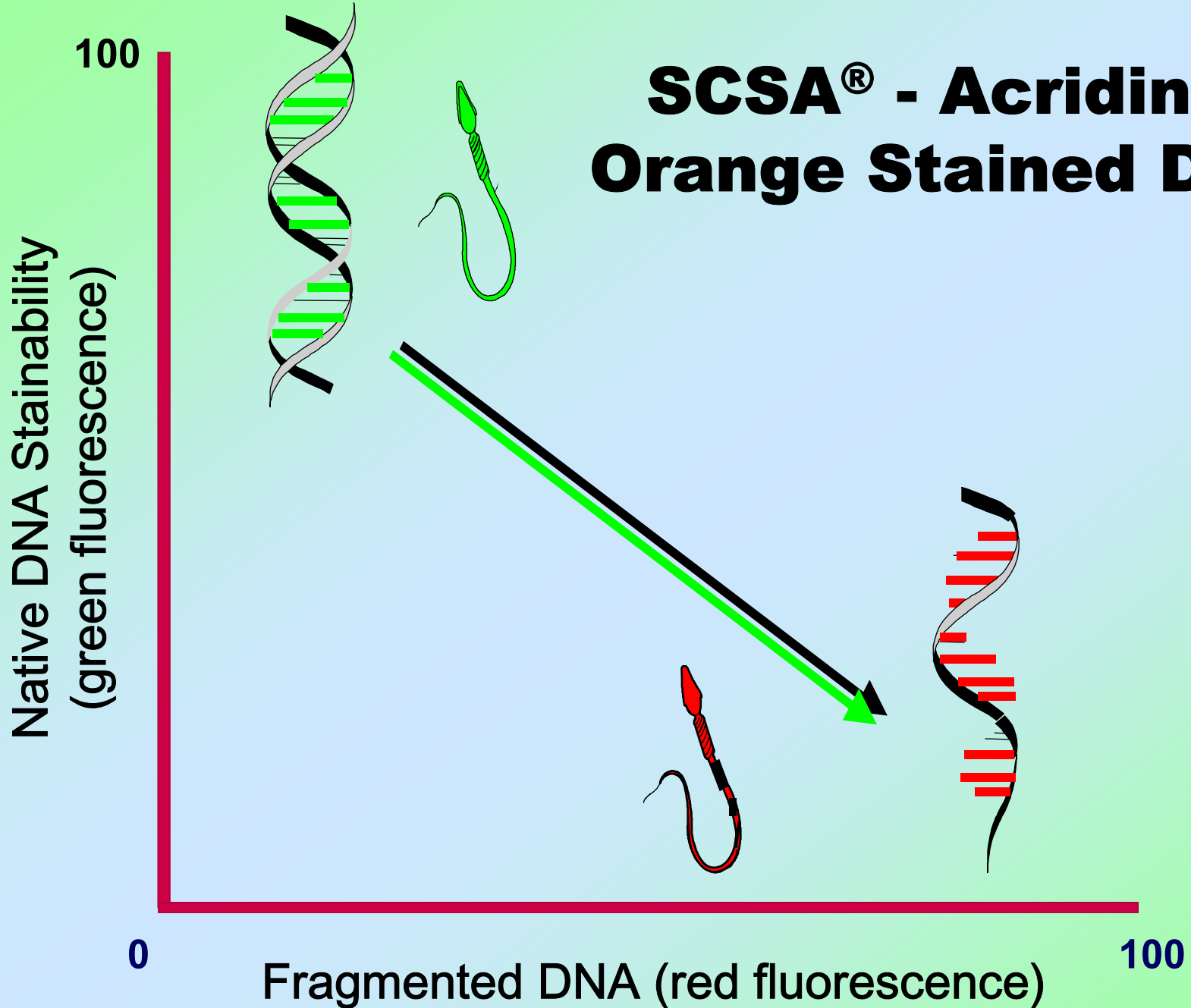
- porodní hmotnost
- genotyp
- nemocnost
- dýchací funkce
- neuropsychické funkce

AIR POLLUTION

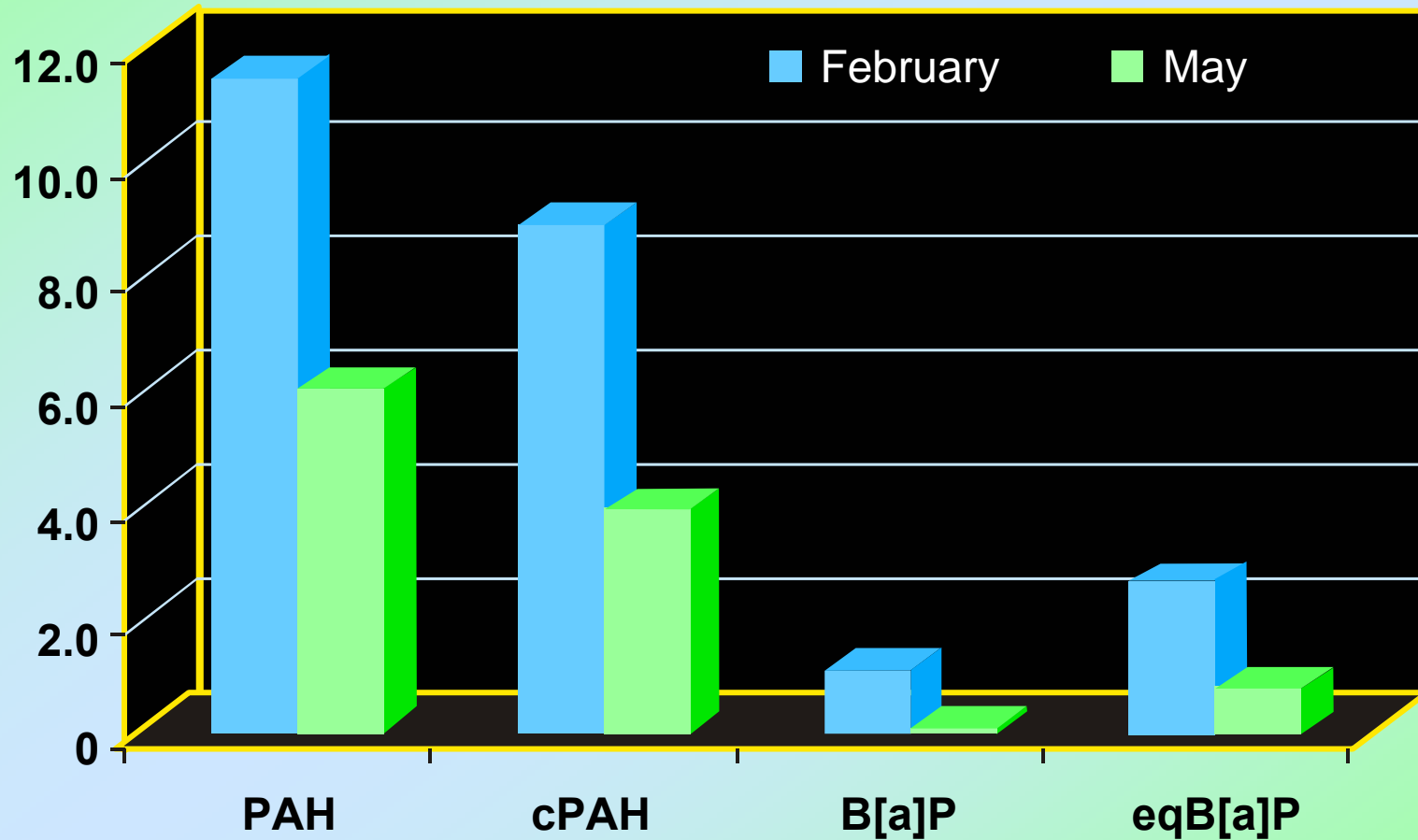
IMPACT ON SPERM



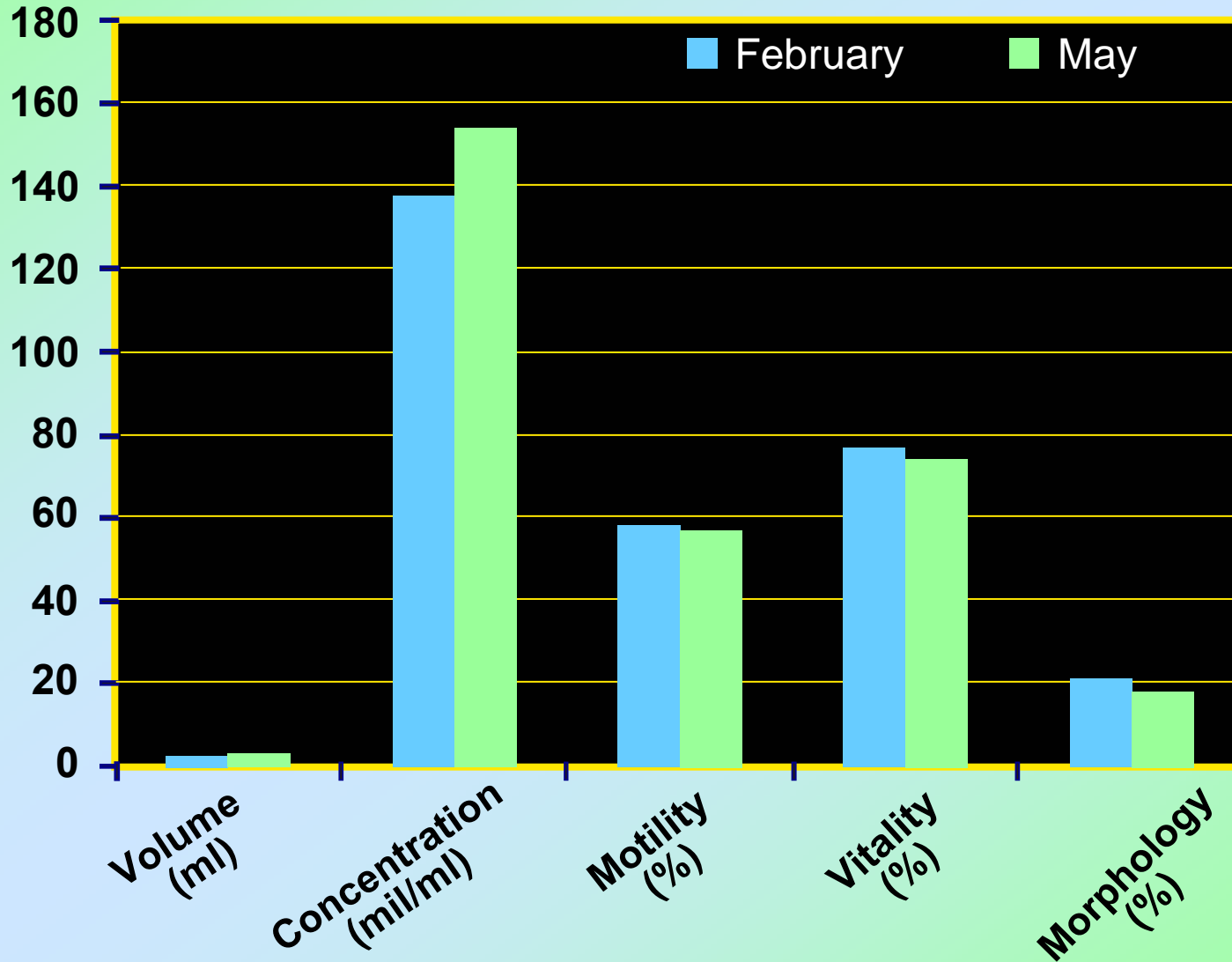
SCSA[®] - Acridine Orange Stained DNA



Air pollutions Prague 2007 (ng/m³)



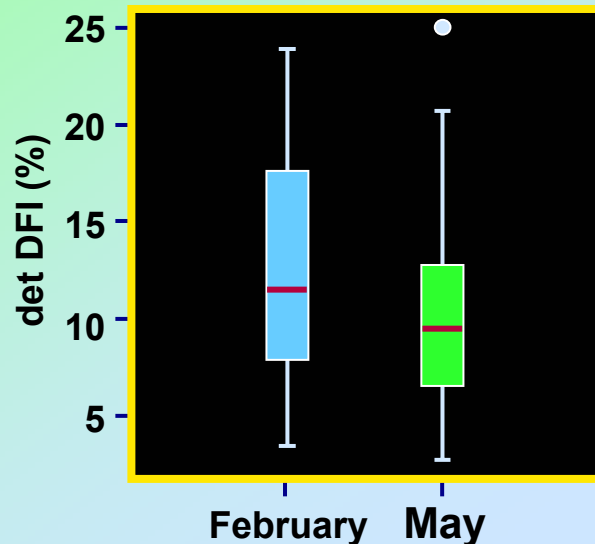
Sperm analysis



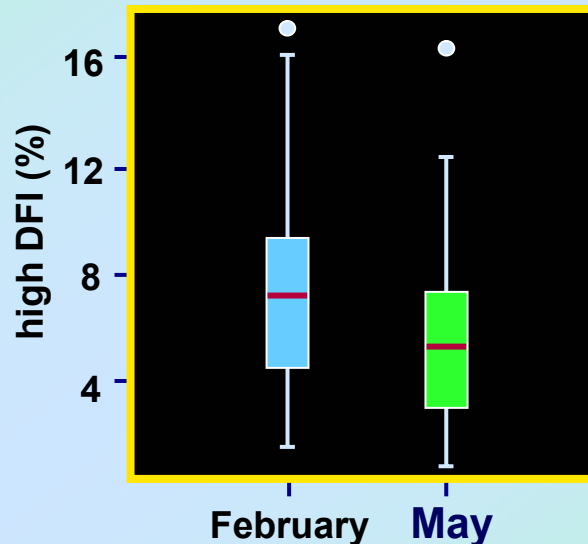
Policemen patrolling the streets in Prague centre with heavy traffic

The level of air pollution will be assessed on the basis of information from two source:

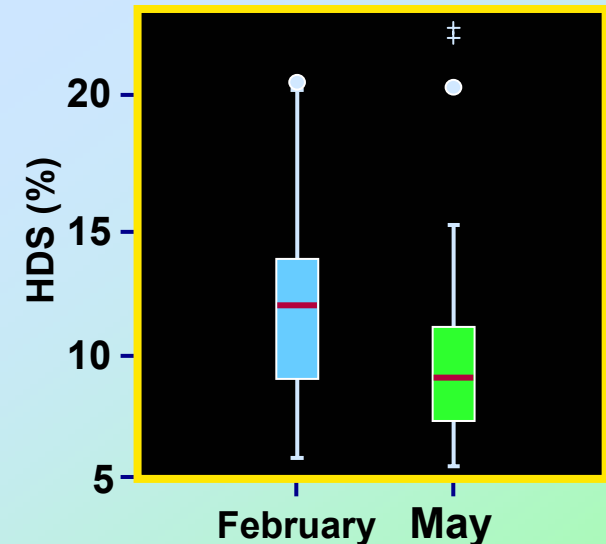
- data from stationary measuring stations AIM Prague
- for 48 h using personal sampling devices (URG Corp, USA)



$P \leq 0.001$



$P \leq 0.001$



$P \leq 0.001$

N=46

dDFI < 15%	Feb 30	May 42
dDFI 15 – 30%	Feb 16	May 4
dDFI >30%	Feb 2	May 2
HDS >15%	Feb 10	May 4

**AIR POLLUTION
RISK
ASSESSMENT**



ACCORDING TO MOLECULAR EPIDEMIOLOGY STUDIES

concentrations
> 1 ng B[a]P/m³
in polluted air



RISK FOR HUMAN HEALTH

NOVÉ POZNATKY

- ↪ **VLIV ENVIRONMENTÁLNÍ EXPOZICE k-PAU – RIZIKO GENOTOXICITY**
- ↪ **VZTAH MEZI EXPOZICÍ k-PAU, DNA adukty a chromosomovými aberacemi (FISH), snížením DNA reparace**
- ↪ **VÝZNAM OXIDAČNÍHO POŠKOZENÍ PRO NEMOCNOST DĚTÍ**

VÝZNAM OXIDAČNÍHO POŠKOZENÍ

→ U DĚTÍ

zvyšuje výskyt respiračních onemocnění
(bronchitidy, astma)
ovlivňuje imunitu

→ U DOSPĚLÝCH

zvyšuje výskyt nádorových onemocnění
aterosklerosy
diabetes

→ URYCHLUJE PROCES STÁRNUTÍ

POŠKOZENÍ GENOMU



POČÁTEK NEMOCI



NUTNOST PREVENCE !

ACKNOWLEDGEMENT

B. Binkova

J. Dejmek

M. Dostal

I. Chvatalova

A. Milcova

Z. Novakova

Z. Lnenickova

P. Rossner

P. Rossner, Jr.

A. Rossnerova

O. Sevastyanova

I. Solansky

V. Svecova

J. Topinka

J. Rubes

M. Vozdova

I. Benes

J. Novak

J. Nozicka

L. Holy

Z. Pokorna

P.B. Farmer

A. Cebulska-Wasilewska

E. Schallerova

ACKNOWLEDGEMENT

**Supported
by the Czech Ministry of Environment
VaV IC/5/6/04, SL/5/160/05,
SP/1b3/50/07
AV CR IQS500390506**